
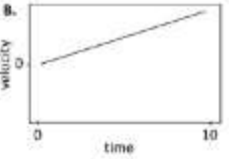
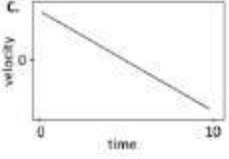
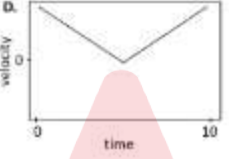
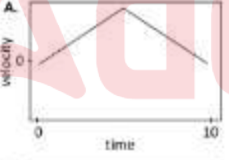
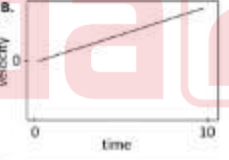
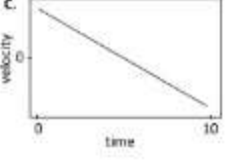
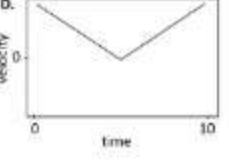


Sr. No.	Client Question ID	Question Body and Alternatives	Marks	Negative Marks
<b>Objective Question</b>				
1	701001	<p>Which one of the following graphs represents the velocity vs time relation for the motion of a ball thrown upward and returning toward the ground, remaining in air for 10 seconds? (Ignore air resistance.)</p> <div style="display: flex; justify-content: space-around;"> <div style="text-align: center;"> <p><b>A.</b></p>  </div> <div style="text-align: center;"> <p><b>B.</b></p>  </div> <div style="text-align: center;"> <p><b>C.</b></p>  </div> <div style="text-align: center;"> <p><b>D.</b></p>  </div> </div> <p>1. A 2. B 3. C 4. D</p> <p>निम्नलिखित आरेखों में से कौन-सा आरेख उस गेंद के वेग का समय के साथ संबंध दर्शाता है जिसे ऊपर की ओर फेंका गया है और धरातल की ओर लौट रही है तथा कुल 10 सेकेंड हवा में रहती है? (हवा के प्रतिरोध की उपेक्षा करें।)</p> <div style="display: flex; justify-content: space-around;"> <div style="text-align: center;"> <p><b>A.</b></p>  </div> <div style="text-align: center;"> <p><b>B.</b></p>  </div> <div style="text-align: center;"> <p><b>C.</b></p>  </div> <div style="text-align: center;"> <p><b>D.</b></p>  </div> </div> <p>1. A 2. B 3. C 4. D</p> <p>A1 1 ∴ 1 A2 2 ∴ 2</p>	2.0	0.50

A3 3

⋮

3

A4 4

⋮

4

## Objective Question

2 701002

A fair coin is tossed 10 times. Let  $H$  and  $T$  be the number of heads and the number of tails, respectively. The maximum possible value of  $H \times T$  is

1. 15
2. 20
3. 25
4. 30

एक निष्पक्ष सिक्के को 10 बार उछाला जाता है। माना कि चित व पट्ट आने की संख्याएं, क्रमशः,  $H$  एवं  $T$  हैं।  $H \times T$  का अधिकतम संभव मान है

1. 15
2. 20
3. 25
4. 30

A1 1

⋮

1

A2 2

⋮

2

A3 3

⋮

3

A4 4

⋮

4

## Objective Question

3 701003

Two 1.5 L bottles A and B are each filled with 1 L of water. 2 packets of ORS are dissolved in A and 1 packet in B. Then B is filled completely by pouring from A. The ORS concentrations in bottles A and B will be in the ratio

1. 5:6
2. 4:5
3. 3:4
4. 2:3

दो 1.5 L की बोतलें, A व B, प्रत्येक 1 L पानी से भरी हैं। A में ORS के 2 पैकेट व B में 1 पैकेट घोले जाते हैं। इसके बाद B को A से उड़ेल कर पूरा भरा जाता है। बोतलों A और B में ORS की सांद्रता का अनुपात होगा

1. 5:6
2. 4:5
3. 3:4
4. 2:3

A1 1

⋮

1

A2 2

⋮

2

A3 3

⋮

3

A4 4

⋮

4

2.0

0.50

2.0

0.50

## Objective Question

4 701004

2.0 0.50

Chairs in 3 colours are placed around a round table such that no two neighbouring chairs have the same colour, and no two pairs of consecutive chairs (in the same direction) have colours in the same order. The maximum number of chairs that can be so placed is

1. 6
2. 7
3. 8
4. 9

एक गोल टेबल के चारों ओर 3 रंगों की कुर्सियाँ इस प्रकार रखी गई हैं कि किन्हीं भी दो निकटस्थ कुर्सियों के रंग एक से नहीं हैं, और कुर्सियों की दो लगातार जोड़ियों के रंग (एक ही दिशा में) उसी क्रम में नहीं हैं। इस प्रकार रखी जा सकने वाली कुर्सियों की अधिकतम संख्या है

1. 6
2. 7
3. 8
4. 9

A1

1

1

A2

2

2

A3

3

3

A4

4

4

## Objective Question

5 701005

2.0 0.50

In a puzzle of filling a grid, each row and column in the  $9 \times 9$  grid, as well as each  $3 \times 3$  sub-grid shown with heavy borders, must contain all the digits 1-9.

1	3		8		6			
		2		7	A	B	C	
			1	2	D	7	9	
2	8							
	9			3			1	
							2	3
5	7			8	3			
			4			9		
		9			2		6	7

In the above partially filled grid, the number 3 appears in square marked

1. D
2. C
3. B
4. A

एक संजाल (ग्रिड) को भरने वाली पहली में,  $9 \times 9$  के संजाल (ग्रिड) की प्रत्येक पंक्ति और स्तंभ में, साथ-ही-साथ,  $3 \times 3$  के प्रत्येक उप-संजाल (ग्रिड) जिन्हें गाढ़ी रेखाओं से दर्शाया गया है, में 1 से 9 तक सभी अंक होने चाहिए।

1	3		8		6			
		2			7	A	B	C
			1	2		D	7	9
2	8							
	9			3			1	
							2	3
5	7			8	3			
			4			9		
		9			2		6	7

आंशिक रूप से भरे दिये गये संजाल (ग्रिड) में, निम्नलिखित में से जिस वर्ग में 3 आता है, वह है

1. D
2. C
3. B
4. A

A1 1

1

A2 2

2

A3 3

3

A4 4

4

Objective Question

6 701006

In a queue each woman is preceded and followed by exactly two men. Which of the following is a possible number of persons in the queue?

1. 39
2. 42
3. 45
4. 47

एक पंक्ति में प्रत्येक महिला के पहले व बाद में ठीक दो पुरुष हैं। पंक्ति में व्यक्तियों की निम्नलिखित में से कौन-सी संख्या संभव है?

1. 39
2. 42
3. 45
4. 47

A1 1

1

A2 2

2

2.0

0.50

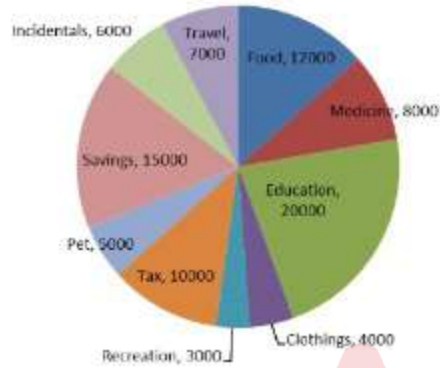
2  
A3 3  
3  
A4 4  
4

Objective Question

7 701007

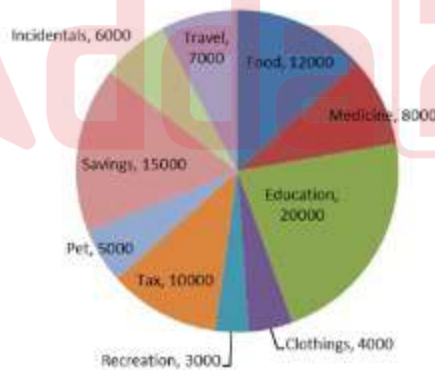
2.0 0.50

A family whose expenses are shown in the pie chart decides to save 20% more by cutting on certain expenses. What will be the consequent change in the angle of the pie for **Savings** in the chart?



1.  $10^\circ$
2.  $12^\circ$
3.  $15^\circ$
4.  $18^\circ$

एक परिवार जिसके खर्चों को एक पाई-चार्ट से दिखाया गया है, वह कुछ खर्चों में कमी कर बचत को 20% बढ़ाना चाहता है। ऐसा करने से चार्ट में बचत (Savings) के पाई कोण में कितना परिवर्तन होगा?



1.  $10^\circ$
2.  $12^\circ$
3.  $15^\circ$
4.  $18^\circ$

A1 1  
1  
A2 2  
2

A3

3

3

A4

4

4

## Objective Question

8	701008	<p>A person leaves for New Delhi, India from New York, USA by a 20 hour flight on a Monday at 6 am, spends 10 hrs in New Delhi and returns to New York by a 20 hour flight on the Wednesday of the same week at 8 am. Based on this, how much is the local time difference between New Delhi and New York?</p> <ol style="list-style-type: none"> <li>1. Cannot be determined</li> <li>2. 10 hours</li> <li>3. 12 hours</li> <li>4. 16 hours</li> </ol> <p>न्यूयॉर्क, अमेरिका से किसी सोमवार को सुबह 6 बजे एक व्यक्ति नई दिल्ली, भारत के लिए 20 घंटे की उड़ान पर निकलता है। नई दिल्ली में 10 घंटे बिताने के बाद यह 20 घंटे की उड़ान से उसी सप्ताह के बुधवार को सुबह 8 बजे न्यूयॉर्क लौटता है। इस जानकारी के आधार पर नई दिल्ली और न्यूयॉर्क के स्थानीय समय में कितना अंतर होगा?</p> <ol style="list-style-type: none"> <li>1. ज्ञात करना संभव नहीं है</li> <li>2. 10 घंटे</li> <li>3. 12 घंटे</li> <li>4. 16 घंटे</li> </ol>	2.0	0.50
		A1 1		
		1		
		A2 2		
		2		
		A3 3		
		3		
		A4 4		
		4		

## Objective Question

9	701009	<p>The ratios of girls to boys in two sections in a class are 3:4 and 3:7 respectively. Their ratio in the entire class (when the two sections are combined) is 4:7. Which of the following can be the strength of the girls in the entire class?</p> <ol style="list-style-type: none"> <li>1. 36</li> <li>2. 42</li> <li>3. 45</li> <li>4. 48</li> </ol> <p>एक कक्षा के दो वर्गों में लड़कियों और लड़कों की संख्याओं का अनुपात क्रमशः 3:4 व 3:7 है। पूरी कक्षा में (जब दोनों वर्गों को एक कर दिया जाता है) उनका अनुपात 4:7 है। पूरी कक्षा में लड़कियों की संख्या निम्नलिखित में से कौनसी हो सकती है?</p> <ol style="list-style-type: none"> <li>1. 36</li> <li>2. 42</li> <li>3. 45</li> <li>4. 48</li> </ol>	2.0	0.50
		A1 1		
		1		
		A2 2		
		2		

2  
A3 3  
∴  
3  
A4 4  
∴  
4

Objective Question

10 701010

If  $9X^2 + 16Y^2 + 24$  is a perfect square,  $X$  and  $Y$  being integers, then the smallest possible non-negative value of  $X + Y$  is

- 0
- 1
- 2
- 3

यदि  $X$  और  $Y$  पूर्णांक हैं तथा  $9X^2 + 16Y^2 + 24$  एक पूर्ण वर्ग है तो  $X + Y$  का लघुतम संभावित गैर-ऋणात्मक मान है

- 0
- 1
- 2
- 3

A1 1  
∴  
1

A2 2  
∴  
2

A3 3  
∴  
3

A4 4  
∴  
4

2.0 0.50

Objective Question

11 701011

The monthly production of a commodity increases by 50% (over the previous month) every even month and drops by 20% (over the previous month) every odd month. If the monthly production at the close of March was 1 ton, the production at the end of September will be approximately

- 3.6 tons
- 2.2 tons
- 3.0 tons
- 1.7 tons

प्रत्येक सम संख्यांक मास में, किसी वस्तु का मासिक उत्पादन (पिछले मास की अपेक्षा) 50% बढ़ता है और प्रत्येक विषम संख्यांक मास में (पिछले मास की अपेक्षा) 20% घटता है। यदि मार्च के अंत में मासिक उत्पादन 1 टन था, तो सितंबर के अंत में उत्पादन लगभग होगा

- 3.6 टन
- 2.2 टन
- 3.0 टन
- 1.7 टन

A1 1  
∴  
1

A2 2  
∴

2.0 0.50

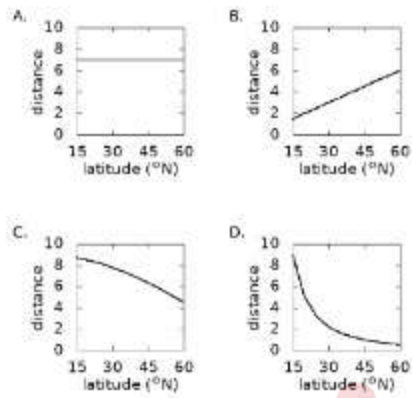
2  
A3 3  
3  
A4 4  
4

Objective Question

12 701012

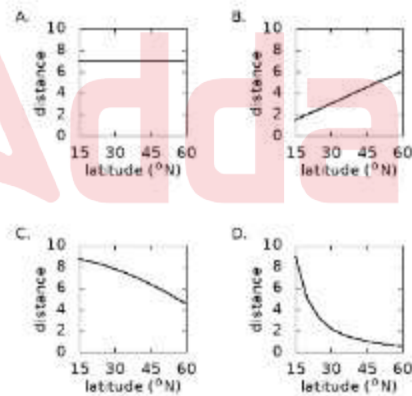
2.0 0.50

Which of the following graphs correctly shows the distance (in arbitrary units) between two longitudes  $1^\circ$  apart along the latitude being considered?



1. A
2. B
3. C
4. D

विचाराधीन अक्षांश पर,  $1^\circ$  देशांतर के बीच की दूरी को (स्क्वेअर इकाइयों में) निम्नलिखित में से कौन-सा आरेख सही रूप में दर्शाता है?



1. A
2. B
3. C
4. D

A1 1  
1  
A2 2  
2



A3 3

⋮  
3

A4 4

⋮  
4

Objective Question

13 701013

Which among the following integers **can never** be written as the sum of squares of three integers?

1. 6
2. 7
3. 8
4. 9

निम्नलिखित पूर्णांकों में से किसे तीन पूर्णांकों के वर्गों के योग के रूप में **किसी भी तरह नहीं** लिखा जा सकता है?

1. 6
2. 7
3. 8
4. 9

A1 1

⋮  
1

A2 2

⋮  
2

A3 3

⋮  
3

A4 4

⋮  
4

Objective Question

14 701014

The product  $1 \times 2 \times 3 \times 4 \times \dots \times 51$  ends with

1. 10 zeros
2. 11 zeros
3. 12 zeros
4. 14 zeros

$1 \times 2 \times 3 \times 4 \times \dots \times 51$  के गुणनफल का अंत कितने शून्यों में होता है?

1. 10 शून्यों में
2. 11 शून्यों में
3. 12 शून्यों में
4. 14 शून्यों में

A1 1

⋮  
1

A2 2

⋮  
2

A3 3

⋮  
3

A4 4

⋮  
4

Objective Question

15 701015

2.0

0.50

2.0

0.50

2.0

0.50

In the following finite sequence of integers, how many 9s are divisible by their immediate next terms?

8,3,4,9,3,5,9,5,9,9,9,4,5,9,5,6,3,3,5,7,2,3,9,9,8,9,3,9,1,9,4

1. 3
2. 4
3. 5
4. 6

नीचे दी गई पूर्णांकों की परिमित श्रेणी में कितने 9 उनके अगले निकटस्थ अंक से विभाज्य हैं?

8,3,4,9,3,5,9,5,9,9,9,4,5,9,5,6,3,3,5,7,2,3,9,9,8,9,3,9,1,9,4

1. 3
2. 4
3. 5
4. 6

A1 1

⋮

1

A2 2

⋮

2

A3 3

⋮

3

A4 4

⋮

4

Objective Question

16. 701016

Consider three configurations of steel wires for bearing a load.

- A. 2 wires of 1 mm diameter each, together
- B. 1 wire of 2 mm diameter
- C. 4 wires of 1 mm diameter each, together

The correct comparison of the load bearing capability of the three configurations is

1.  $A = B = C$
2.  $A < B = C$
3.  $A < C < B$
4.  $A = B > C$

एक भार को सहन करने के लिए स्टील के तारों के तीन विन्यासों पर विचार करें

- A. 1 मिमी व्यास प्रत्येक के 2 तार, एक साथ
- B. 2 मिमी व्यास का 1 तार
- C. 1 मिमी व्यास प्रत्येक के 4 तार, एक साथ

तीन विन्यासों की क्षमता का सही तुलनात्मक संबंध है

1.  $A = B = C$
2.  $A < B = C$
3.  $A < C < B$
4.  $A = B > C$

A1 1

⋮

1

A2 2

⋮

2

2.0

0.50

A3

3

3

A4

4

4

## Objective Question

17 701017

A bucket has 10 L water at  $15^{\circ}\text{C}$ . How much water at  $50^{\circ}\text{C}$  should be added to get a mixture of temperature  $40^{\circ}\text{C}$ ? (Assume no heat loss in mixing.)

1. 15 L
2. 20 L
3. 25 L
4. 30 L

एक बाल्टी में 10 L पानी  $15^{\circ}\text{C}$  पर है। मिश्रण का तापमान  $40^{\circ}\text{C}$  प्राप्त करने के लिए  $50^{\circ}\text{C}$  का कितना पानी मिलाता चाहिए? (मान लें कि मिश्रित करने में ऊष्मा की हानि नहीं होती।)

1. 15 L
2. 20 L
3. 25 L
4. 30 L

A1

1

1

A2

2

2

A3

3

3

A4

4

4

## Objective Question

18 701018

Shyam buys a watch at a 10% discount on its maximum retail price (MRP). He sells it to Mohan for Rs. 3960 making a profit of 10%. What is the MRP (in Rs.) of the watch?

1. 4040
2. 4000
3. 3960
4. 4356

श्याम एक घड़ी को उसके अधिकतम खुदरा मूल्य (MRP) पर 10% छूट के साथ खरीदता है। वह इसे मोहन को 10% लाभ पर 3960 रुपये में बेच देता है। घड़ी का अधिकतम खुदरा मूल्य (रुपये में) कितना है?

1. 4040
2. 4000
3. 3960
4. 4356

A1

1

1

2.0

0.50

2.0

0.50

A2 2

2

A3 3

3

A4 4

4

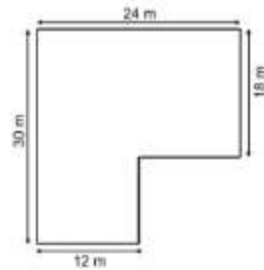
Objective Question

19 701019

The floor shown in the figure is to be covered with square tiles.

2.0

0.50



If all tiles are to be of the same size, what is the smallest number of tiles that will do the job?

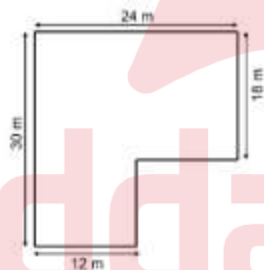
1. 14

2. 6

3. 32

4. 16

दिए गए चित्र में दर्शाये फ़र्श को वर्गीकार टाइलों से पूरा भरना है।



यदि सभी टाइलें एक ही माप की हों तो टाइलों की किस न्यूनतम संख्या से यह कार्य होगा?

1. 14

2. 6

3. 32

4. 16

A1 1

1

A2 2

2

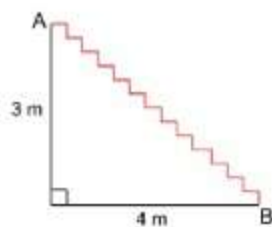
A3 3

3

A4 4

4

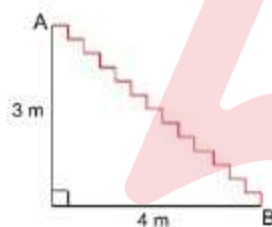
A flight of 13 steps from the ground to a platform of height 3 m is to be carpeted. The steps are all equal and have tread  $a$  and rise  $b$ . The staircase starts from a point on the ground horizontally 4 m away from the edge of the platform as shown.



Assuming that the width of the carpet is adequate, what is the length of the carpet (in meter) needed to cover all the steps?

1. 7
2. 5
3.  $(3a + 4b)/\sqrt{13}$
4.  $\sqrt{13}(a + b)$

धरातल से 3 मीटर ऊँचे एक चबूतरे तक 13 पायदानों की एक सीढ़ी पर कालीन बिछाना है। सभी पायदानों की एक समान गहराई  $a$  व ऊँचाई  $b$  है। जैसा दर्शाया है, चबूतरे की धार से 4 मीटर की क्षैतिज दूरी पर धरातल से सीढ़ी आरंभ होती है।



यह मानते हुए कि कालीन की चौड़ाई पर्याप्त है, सभी पायदानों को कालीन से ढकने के लिए कालीन की लंबाई (मीटर में) कितनी चाहिए?

1. 7
2. 5
3.  $(3a + 4b)/\sqrt{13}$
4.  $\sqrt{13}(a + b)$

A1 1

:

1

A2 2

:

2

A3 3

:

3

A4 4

:

4

The number of skeletal electron pairs (SEP) and the cluster type for  $[B_{10}H_{10}]^{2-}$  and  $[B_6H_6]^-$ , respectively, are

1. 11, *closo* and 8, *nido*
2. 11, *nido* and 8, *nido*
3. 10, *closo* and 6, *arachno*
4. 10, *closo* and 8, *nido*

$[B_{10}H_{10}]^{2-}$  तथा  $[B_6H_6]^-$  के लिए कंकाली इलेक्ट्रॉन युग्मों (SEP) की संख्या तथा गुच्छ (cluster) का प्रकार है, क्रमशः

1. 11, *closo* तथा 8, *nido*
2. 11, *nido* तथा 8, *nido*
3. 10, *closo* तथा 6, *arachno*
4. 10, *closo* तथा 8, *nido*

A1

1

1

A2

2

2

A3

3

3

A4

4

4

Objective Question

22 701022

According to VSEPR theory, the geometries of  $FCIO$  and  $F_5IO$ , respectively, are

1. linear and octahedral
2. tetrahedral and octahedral
3. tetrahedral and capped octahedral
4. trigonal bipyramidal and capped octahedral

VSEPR सिद्धांत के अनुसार,  $FCIO$  तथा  $F_5IO$  की ज्यामितियां हैं, क्रमशः

1. रैखिक तथा अष्टफलकीय
2. चतुष्फलकीय तथा अष्टफलकीय
3. चतुष्फलकीय तथा छादित अष्टफलकीय
4. विसमताक्ष द्विपिरमिडी तथा छादित अष्टफलकीय

A1

1

1

A2

2

2

A3

3

3

A4

4

4

Objective Question

23 701023

2.0

0.50

2.0

0.50

The option showing the correct match of metal complexes in **Column I** with the corresponding  $\Delta_o$  ( $\text{cm}^{-1}$ ) values in **Column II** is

Column - I		Column - II	
A	$[\text{TiF}_6]^{3-}$	P	21800
B	$[\text{MnF}_6]^{2-}$	Q	17000
C	$[\text{Co}(\text{en})_3]^{3+}$	R	9400
D	$[\text{Fe}(\text{H}_2\text{O})_6]^{2+}$	S	24000

- $A \rightarrow Q, B \rightarrow P, C \rightarrow S, D \rightarrow R$
- $A \rightarrow R, B \rightarrow S, C \rightarrow P, D \rightarrow Q$
- $A \rightarrow Q, B \rightarrow P, C \rightarrow R, D \rightarrow S$
- $A \rightarrow P, B \rightarrow S, C \rightarrow R, D \rightarrow Q$

कॉलम I में धातु संकुलों का कॉलम II में संगत  $\Delta_o$  ( $\text{cm}^{-1}$ ) मानों के साथ सही मिलान दर्शाते वाला विकल्प है

कॉलम I		कॉलम - II	
A	$[\text{TiF}_6]^{3-}$	P	21800
B	$[\text{MnF}_6]^{2-}$	Q	17000
C	$[\text{Co}(\text{en})_3]^{3+}$	R	9400
D	$[\text{Fe}(\text{H}_2\text{O})_6]^{2+}$	S	24000

- $A \rightarrow Q, B \rightarrow P, C \rightarrow S, D \rightarrow R$
- $A \rightarrow R, B \rightarrow S, C \rightarrow P, D \rightarrow Q$
- $A \rightarrow Q, B \rightarrow P, C \rightarrow R, D \rightarrow S$
- $A \rightarrow P, B \rightarrow S, C \rightarrow R, D \rightarrow Q$

A1

1

A2

2

A3

3

A4

4

Objective Question

24 701024

The reaction of  $\text{V}_2\text{O}_5$  with an ethanolic  $\text{HCl}$  produces a species **X**, which gives an EPR spectrum with an eight-line  $^{51}\text{V}$  hyperfine coupling ( $^{51}\text{V} : I = 7/2$ ) and a strong infra-red absorption in the region of  $950 - 1035 \text{ cm}^{-1}$ . **X** contains a

- $[\text{V} - (\text{O})_2 - \text{V}]^{6+}$  unit
- $[\text{VO}]^{2+}$  unit
- $[\text{V}(\text{O})(\text{O}_2)]^+$  unit
- $[(\text{O})\text{V} - \text{O} - \text{V}(\text{O})]^{4+}$  unit

2.0 0.50

एथेनॉलिक HCl के साथ  $V_2O_5$  की अभिक्रिया एक स्पीशीज, X उत्पन्न करती है, जो आठ-लाइन  $^{51}V$  अतिसूक्ष्म युग्मन ( $^{51}V : I = 7/2$ ) तथा  $950 - 1035 \text{ cm}^{-1}$  के क्षेत्र में एक प्रबल अवरक्त अवशोषण के साथ एक EPR स्पेक्ट्रम देता है। X में सम्मिलित है, एक,

1.  $[V - (O)_2 - V]^{6+}$  इकाई
2.  $[VO]^{2+}$  इकाई
3.  $[V(O)(O_2)]^+$  इकाई
4.  $[(O)V - O - V(O)]^{4+}$  इकाई

A1 1

1

A2 2

2

A3 3

3

A4 4

4

Objective Question

25 701025

The following statements are given with respect to the copper-containing nitrite reductase.

- A. It contains both Type – II and Type – III copper proteins.
- B. Type – I copper protein is involved in the electron transfer process.
- C. Nitrite ion is reduced to NO.
- D. Nitrite ion is reduced to  $NH_3$ .

The option with correct statements is:

1. A and B only
2. B and C only
3. A and C only
4. A and D only

कॉपर युक्त नाइट्राइट रिडक्टोज के संबंध में निम्नलिखित कथनों को दिया गया है।

- A. इसमें टाइप-II तथा टाइप-III कॉपर प्रोटीन दोनों होते हैं।
- B. इलेक्ट्रॉन स्थानांतरण प्रक्रम में टाइप-I कॉपर प्रोटीन सम्मिलित है।
- C. नाइट्राइट आयन NO में अपचयित होती है।
- D. नाइट्राइट आयन  $NH_3$  में अपचयित होती है।

सही कथनों वाला विकल्प है

1. केवल A तथा B
2. केवल B तथा C
3. केवल A तथा C
4. केवल A तथा D

A1 1

1

A2 2

2

2.0

0.50



2  
A3 3  
3  
A4 4  
4

Objective Question

26 701026

The option showing the correct match for the reactants in **Column I** with the second-order rate constants ( $\text{l mol}^{-1} \text{s}^{-1}$ ) in **Column II** for the outer-sphere reactions in water at 25 °C is

2.0 0.50

	Column I		Column II
A.	$[\text{Fe}(\text{CN})_6]^{4-}$ and $[\text{Fe}(\text{CN})_6]^{3-}$	i.	$10^5$
B.	$[\text{Fe}(\text{H}_2\text{O})_6]^{2+}$ and $[\text{Fe}(\text{H}_2\text{O})_6]^{3+}$	ii.	3
C.	$[\text{Co}(\text{NH}_3)_6]^{2+}$ and $[\text{Co}(\text{NH}_3)_6]^{3+}$	iii.	$10^{-6}$
D.	$[\text{Co}(\text{en})_3]^{2+}$ and $[\text{Co}(\text{en})_3]^{3+}$	iv.	$10^{-4}$

1. A – (i), B – (ii), C – (iii), D – (iv)
2. A – (iv), B – (iii), C – (ii), D – (i)
3. A – (i), B – (ii), C – (iv), D – (iii)
4. A – (iv), B – (ii), C – (iii), D – (i)

25 °C पर जल में बाह्य-मंडलीय अभिक्रियाओं के लिए कॉलम-I में दिये गये अभिकारकों का कॉलम-II में दिये गये द्वितीय-कोटि दर स्थिरांक ( $\text{l mol}^{-1} \text{s}^{-1}$ ) के साथ सही मिलान को दर्शाने करने वाला विकल्प है

	कॉलम I		कॉलम II
A.	$[\text{Fe}(\text{CN})_6]^{4-}$ तथा $[\text{Fe}(\text{CN})_6]^{3-}$	i.	$10^5$
B.	$[\text{Fe}(\text{H}_2\text{O})_6]^{2+}$ तथा $[\text{Fe}(\text{H}_2\text{O})_6]^{3+}$	ii.	3
C.	$[\text{Co}(\text{NH}_3)_6]^{2+}$ तथा $[\text{Co}(\text{NH}_3)_6]^{3+}$	iii.	$10^{-6}$
D.	$[\text{Co}(\text{en})_3]^{2+}$ तथा $[\text{Co}(\text{en})_3]^{3+}$	iv.	$10^{-4}$

1. A – (i), B – (ii), C – (iii), D – (iv)
2. A – (iv), B – (iii), C – (ii), D – (i)
3. A – (i), B – (ii), C – (iv), D – (iii)
4. A – (iv), B – (ii), C – (iii), D – (i)

A1 1  
1  
A2 2  
2  
A3 3  
3  
A4 4  
4

Objective Question

27 701027

The calculated magnetic moment of  $\text{Eu}^{3+}$  ( $4f^6$ ) is 0 (zero) BM. The experimental value is 3.4 – 3.6 BM at 298 K. The deviation is due to the

2.0 0.50

1. mixing of 4f and 4d orbitals
2. large spin-orbit coupling constant ( $\lambda$ )
3. large orbital angular momentum
4. populated ground and the excited states

$\text{Eu}^{3+}$  ( $4f^6$ ) का परिकल्पित चुंबकीय आघूर्ण 0 (शून्य) BM है। 298 K पर प्रायोगिक मान 3.4 – 3.6 BM है। विचलन का कारण है

1.  $4f$  तथा  $4d$  कक्षकों का मिश्रण
2. बड़ा प्रचरण-कक्षा युग्मन स्थिरांक ( $\lambda$ )
3. बड़ा कक्षक कोणीय संवेग
4. समष्टित निम्नतम तथा उत्तेजित अवस्थाएं

A1 1

1

A2 2

2

A3 3

3

A4 4

4

Objective Question

28	701028	<p>The correct option for the oxidation state(s) of Nb in the cluster <math>\text{Na}_4[\text{Nb}_6\text{Cl}_{18}]</math> is</p> <ol style="list-style-type: none"> <li>1. two are in +3 state and four are in +2 state</li> <li>2. all are in +2 state</li> <li>3. all are in +3 state</li> <li>4. three are in +2 state and three are in +3 state</li> </ol> <p><math>\text{Na}_4[\text{Nb}_6\text{Cl}_{18}]</math> क्लस्टर में Nb की ऑक्सीकरण अवस्था (अवस्थाओं) के लिए सही विकल्प है</p> <ol style="list-style-type: none"> <li>1. दो +3 अवस्था में हैं तथा चार +2 अवस्था में हैं।</li> <li>2. सभी +2 अवस्था में हैं।</li> <li>3. सभी +3 अवस्था में हैं।</li> <li>4. तीन +2 अवस्था में हैं तथा तीन +3 अवस्था में हैं।</li> </ol>	2.0	0.50			
A1 1	1	A2 2	2	A3 3	3	A4 4	4

Objective Question

29	701029	<p>Magnetic moment of <math>\text{Yb}^{3+}</math> (<math>f^{13}</math>) is</p> <ol style="list-style-type: none"> <li>1. 4.54 BM</li> <li>2. 1.73 BM</li> <li>3. 2.83 BM</li> <li>4. 3.87 BM</li> </ol>	2.0	0.50
----	--------	---	-----	------

$\text{Yb}^{3+} (f^{13})$  का चुंबकीय आघूर्ण है

1. 4.54 BM
2. 1.73 BM
3. 2.83 BM
4. 3.87 BM

A1 1

1

A2 2

2

A3 3

3

A4 4

4

Objective Question

30 701030

The total number of six membered rings in the polycyclic compounds  $P_4(NMe)_6$  and  $P_2(N_2Me_2)_3$  is

2.0 0.50

1. 7
2. 6
3. 5
4. 4

बहुचकीय यौगिकों,  $P_4(NMe)_6$  तथा  $P_2(N_2Me_2)_3$  में छः सदस्यों वाले वलयों की कुल संख्या है।

1. 7
2. 6
3. 5
4. 4

A1 1

1

A2 2

2

A3 3

3

A4 4

4

Objective Question

31 701031

2.0 0.50

$[\text{Fe}(\text{CO})_5]$  on reaction with  $\text{C}_3\text{H}_5\text{I}$  gives  $\text{Y}$  with the elimination of two molecules of  $\text{CO}$ . Consider the following statements

- A.  $\text{Y}$  obeys the 18-electron rule
- B. The reaction is an example of oxidative addition
- C. Allyl moiety shows  $\eta^1$  coordination in  $\text{Y}$
- D.  $\text{Y}$  adopts pentagonal bipyramidal geometry

The correct option is

- 1. A, B and C only
- 2. A and B only
- 3. A, B and D only
- 4. B and D only

$\text{C}_3\text{H}_5\text{I}$  के साथ  $[\text{Fe}(\text{CO})_5]$  की अभिक्रिया से,  $\text{CO}$  के दो अणुओं के विलोपन के साथ  $\text{Y}$  उत्पन्न करती है। निम्नलिखित कथनों पर विचार कीजिए

- A.  $\text{Y}$  18-इलेक्ट्रॉन नियम का पालन करता है।
- B. उपरोक्त अभिक्रिया ऑक्सीकरण संकलन का एक उदाहरण है।
- C.  $\text{Y}$  में एलिल अर्धांश  $\eta^1$  समन्वय दर्शाता है।
- D.  $\text{Y}$  पंचकोणीय द्विपिरमिडी ज्यामिति अपनाता है।

सही विकल्प है

- 1. केवल A, B तथा C
- 2. केवल A तथा B
- 3. केवल A, B तथा D
- 4. केवल B तथा D

A1 1  
A2 2  
A3 3  
A4 4



Objective Question

32 701032

The difference in the second ionization energies of  $\text{Li}/\text{Na}$ ,  $\text{Be}/\text{Mg}$ ,  $\text{B}/\text{Al}$  and  $\text{N}/\text{P}$  are  $X_1$ ,  $X_2$ ,  $X_3$  and  $X_4$ , respectively. The correct order of the difference in the second ionization energies is

- 1.  $X_1 > X_4 > X_3 > X_2$
- 2.  $X_1 > X_2 > X_3 > X_4$
- 3.  $X_4 > X_3 > X_1 > X_2$
- 4.  $X_1 > X_3 > X_4 > X_2$

$\text{Li}/\text{Na}$ ,  $\text{Be}/\text{Mg}$ ,  $\text{B}/\text{Al}$  तथा  $\text{N}/\text{P}$  की द्वितीय आयतन ऊर्जाओं में अंतर क्रमशः  $X_1$ ,  $X_2$ ,  $X_3$  तथा  $X_4$  हैं। द्वितीय आयतन ऊर्जाओं में अंतर का सही क्रम है

- 1.  $X_1 > X_4 > X_3 > X_2$
- 2.  $X_1 > X_2 > X_3 > X_4$
- 3.  $X_4 > X_3 > X_1 > X_2$
- 4.  $X_1 > X_3 > X_4 > X_2$

2.0

0.50

A1 1  
:  
1  
A2 2  
:  
2  
A3 3  
:  
3  
A4 4  
:  
4

Objective Question

33 701033

In a flame photometric analysis of a blood serum sample for  $K^+$  ion, a band is obtained at  $766 \text{ nm}$ . This band is due to

2.0 0.50

1. absorption by  $K^+$  ion only.
2. absorption by  $K$  atom only.
3. emission by  $K^+$  ion only.
4. emission by  $K$  atom only.

एक रक्त सीरम नमूने के ज्वाला प्रकाशमितीय विश्लेषण में  $K$  आयन के लिए,  $766 \text{ nm}$  पर एक बैंड प्राप्त किया जाता है। यह बैंड जिसके कारण है, वह है

1. केवल  $K^+$  आयन के अवशोषण
2. केवल  $K$  परमाणु के अवशोषण
3. केवल  $K^+$  आयन के उत्सर्जन
4. केवल  $K$  परमाणु के उत्सर्जन

A1 1  
:  
1  
A2 2  
:  
2  
A3 3  
:  
3  
A4 4  
:  
4

Objective Question

34 701034

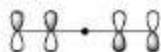
The following molecular orbital corresponds to

2.0 0.50



1. HOMO of pentadienyl cation
2. HOMO of pentadienyl anion
3. LUMO of pentadienyl cation
4. LUMO of pentadienyl anion

निम्नलिखित आण्विक कक्षक जिसके संगत है, वह है



1. पेन्टाडाइइनायल धनायन का HOMO
2. पेन्टाडाइइनायल ऋणायन का HOMO
3. पेन्टाडाइइनायल धनायन का LUMO
4. पेन्टाडाइइनायल ऋणायन का LUMO

A1 1

⋮

1

A2 2

⋮

2

A3 3

⋮

3

A4 4

⋮

4

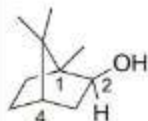
Objective Question

35 701035

The correct absolute configuration for the structure shown below is

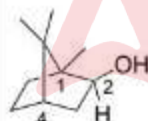
2.0

0.50



1. 1S, 2S, 4S
2. 1S, 2R, 4R
3. 1R, 2R, 4S
4. 1S, 2S, 4R

नीचे दर्शाई गई संरचना के लिए सही निरपेक्ष विन्यास है



1. 1S, 2S, 4S
2. 1S, 2R, 4R
3. 1R, 2R, 4S
4. 1S, 2S, 4R

A1 1

⋮

1

A2 2

⋮

2

A3 3

⋮

3

A4 4

⋮

4

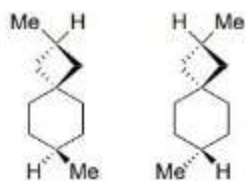
Objective Question

36 701036

2.0

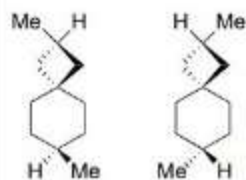
0.50

The following two molecules are



1. Enantiomers
2. Diastereomers
3. Homomers (Identical)
4. Constitutional isomers

नीचे दर्शाए गये दो अणु हैं



1. प्रतिबिम्बरूप (Enantiomers)
2. अप्रतिबिम्बी त्रिविध समावयव (Diastereomers)
3. होमोमर्स (समान) (Homomers (Identical))
4. संघटनात्मक समावयव (Constitutional isomers)

A1

1

1

A2

2

2

A3

3

3

A4

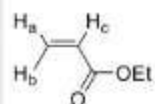
4

4

Objective Question

37 701037

The correct match for the protons of ethyl acrylate given in Column P with chemical shifts ( $\delta$  ppm) given in Column Q is



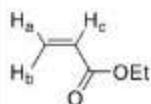
	Column P		Column Q
A.	H <sub>a</sub>	i.	6.11 (dd, J = 16, 10 Hz)
B.	H <sub>b</sub>	ii.	6.4 (dd, J = 16, 4 Hz)
C.	H <sub>c</sub>	iii.	5.8 (dd, J = 10, 4 Hz)

1. A – i; B – ii; C – iii
2. A – iii; B – ii; C – i
3. A – iii; B – i; C – ii
4. A – ii; B – iii; C – i

2.0

0.50

कॉलम P में दिये गये एथिल एक्रिलेट के प्रोटॉनों का कॉलम Q में दिए गए रासायनिक स्थितिओं (chemical shifts) (δ ppm) के साथ सही मिलान है



	कॉलम P		कॉलम Q
A.	H <sub>a</sub>	i.	6.11 (dd, J = 16, 10 Hz)
B.	H <sub>b</sub>	ii.	6.4 (dd, J = 16, 4 Hz)
C.	H <sub>c</sub>	iii.	5.8 (dd, J = 10, 4 Hz)

1. A – i; B – ii; C – iii
2. A – iii; B – ii; C – i
3. A – iii; B – i; C – ii
4. A – ii; B – iii; C – i

A1

1

1

A2

2

2

A3

3

3

A4

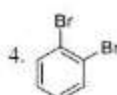
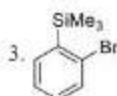
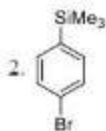
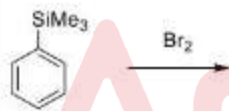
4

4

Objective Question

38 701038

The major product formed in the following reaction is

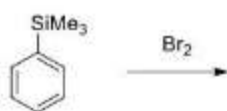


2.0

0.50



निम्नलिखित अभिक्रिया में विरचित मुख्य उत्पाद है



- 1.
- 2.
- 3.
- 4.

A1 1

1

A2 2

2

A3 3

3

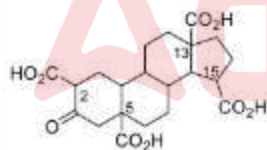
A4 4

4

Objective Question

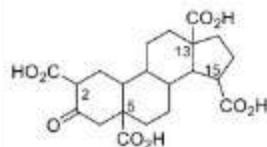
39 701039

The given steroid molecule undergoes facile monodecarboxylation on heating. The carboxylic acid group lost is at



1. C15
2. C13
3. C5
4. C2

दिए गए स्टेरॉयड अणु को गर्म करने पर आसानी से मोनोडिकार्वोक्सिलेशन होता है। कार्वोक्सिलिक अम्ल समूह की क्षति जहाँ पर होती है, वह है



1. C15
2. C13
3. C5
4. C2

2.0

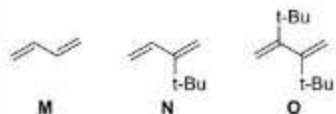
0.50

A1 1  
:  
1  
A2 2  
:  
2  
A3 3  
:  
3  
A4 4  
:  
4

Objective Question

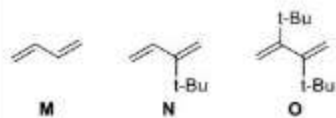
40 701040

The correct order of reactivity for the following dienes with maleic anhydride is



1.  $M > N > O$
2.  $N > M > O$
3.  $N > O > M$
4.  $O > N > M$

मैलेइक एनहाइड्राइड के साथ निम्नलिखित डाइनों के लिए क्रियाशीलता का सही क्रम है



1.  $M > N > O$
2.  $N > M > O$
3.  $N > O > M$
4.  $O > N > M$

A1 1  
:  
1  
A2 2  
:  
2  
A3 3  
:  
3  
A4 4  
:  
4

Objective Question

41 701041

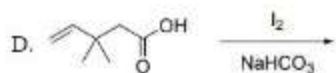
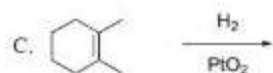
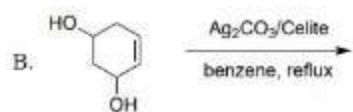
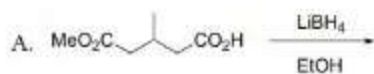
2.0

0.50

2.0

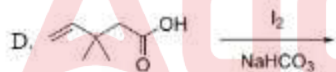
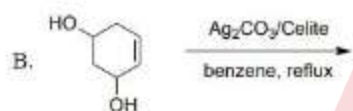
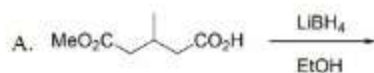
0.50

Among the following, the examples of chemoselective reactions are



1. A and B
2. B and C
3. A and D
4. C and D

निम्नलिखित में, रसोवरणात्मक (chemoselective) अभिक्रियाओं के उदाहरण हैं



1. A तथा B
2. B तथा C
3. A तथा D
4. C तथा D

A1

1

A2

2

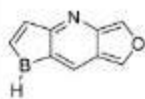
A3

3

A4

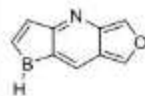
4

Based on Hückel rule, the following species is



1. aromatic
2. antiaromatic
3. nonaromatic
4. homoaromatic

इकल नियम के आधार पर, निम्नलिखित स्पीशीज हैं



1. ऐरोमैटिक (aromatic)
2. प्रतिऐरोमैटिक (antiaromatic)
3. अन्ऐरोमैटिक (nonaromatic)
4. समऐरोमैटिक (homoaromatic)

A1

1

A2

2

A3

3

A4

4

Objective Question

43 701043

The structure that corresponds to the following compound is

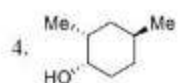
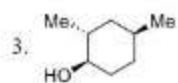
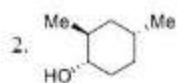
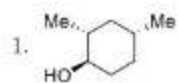
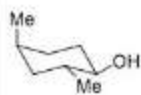


- 1.
- 2.
- 3.
- 4.

2.0

0.50

निम्नलिखित यौगिक के संगत सही संरचना है



A1 1

⋮

1

A2 2

⋮

2

A3 3

⋮

3

A4 4

⋮

4

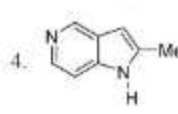
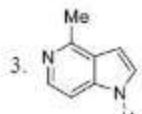
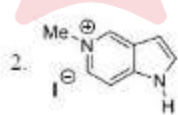
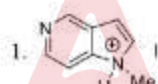
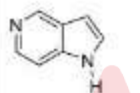
Objective Question

44 701044

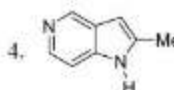
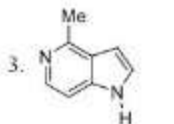
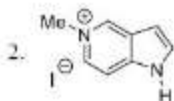
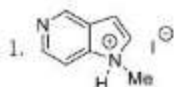
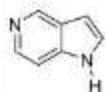
The reaction of the given compound with MeI produces

2.0

0.50



दिए गए यौगिक और MeI की अभिक्रिया से उत्पन्न होता है



A1 1

: 1

A2 2

: 2

A3 3

: 3

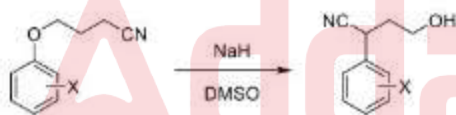
A4 4

: 4

Objective Question

45 701045

The following reaction is the fastest when



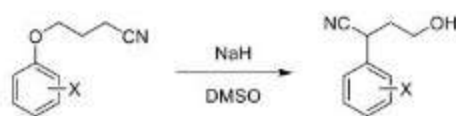
1. X = *m*-NO<sub>2</sub>

2. X = *p*-OMe

3. X = *p*-NO<sub>2</sub>

4. X = *m*-OMe

निम्नलिखित अभिक्रिया तीव्रतम होती है, जब



1. X = *m*-NO<sub>2</sub>

2. X = *p*-OMe

3. X = *p*-NO<sub>2</sub>

4. X = *m*-OMe

A1 1

: 1

A2 2

: 2

2.0

0.50

2  
A3 3  
3  
A4 4  
4

Objective Question

46 701046

2-Methylbut-2-ene is used in Pinnick oxidation  
[R-CHO  $\rightarrow$  R-CO<sub>2</sub>H using NaClO<sub>2</sub>, Na<sub>2</sub>HPO<sub>4</sub> in t-BuOH/H<sub>2</sub>O] to scavenge

2.0 0.50

1. HCl
2. H<sub>3</sub>PO<sub>4</sub>
3. HClO<sub>2</sub>
4. HOCl

पिनिक ऑक्सीकरण [R-CHO  $\rightarrow$  R-CO<sub>2</sub>H में NaClO<sub>2</sub>, Na<sub>2</sub>HPO<sub>4</sub> प्रयुक्त करते पर] में 2-मेथिलब्यूट-2-इन (2-methylbut-2-ene) का उपयोग जिसके अपमार्जन में किया जाता है, वह है

1. HCl
2. H<sub>3</sub>PO<sub>4</sub>
3. HClO<sub>2</sub>
4. HOCl

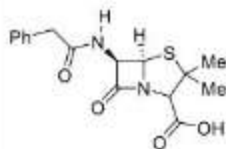
A1 1  
1  
A2 2  
2  
A3 3  
3  
A4 4  
4

Objective Question

47 701047

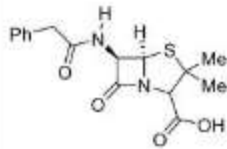
The most effective pharmacophore that confers antibiotic activity to penicillin G is

2.0 0.50



1. phenylacetamide
2. thiazolidine ring
3. carboxylic acid
4.  $\beta$ -lactam

पेनिसिलीन G को प्रतिजैविक सक्रियता प्रदान करने वाला सबसे प्रभावी फार्माकोफोर है



1. फेनिलपेसिटामाइड
2. थियाजोलीडीन वलय
3. कार्बोक्सिलिक अम्ल
4.  $\beta$ -लैक्टम

A1 1

1

A2 2

2

A3 3

3

A4 4

4

Objective Question

48 701048

If  $H = \frac{p_x^2}{2m} + V(x)$ , then  $[H, p_x]$  is

1.  $i\hbar \frac{dV}{dx}$

2. 0

3.  $-i\hbar$

4.  $-\frac{i\hbar p_x}{m}$

यदि  $H = \frac{p_x^2}{2m} + V(x)$ , है, तो  $[H, p_x]$  है

1.  $i\hbar \frac{dV}{dx}$

2. 0

3.  $-i\hbar$

4.  $-\frac{i\hbar p_x}{m}$

A1 1

1

A2 2

2

A3 3

3

A4 4

4

Objective Question



49	701049	<p><math>e^{ikx}</math> is an eigenfunction of the linear momentum operator, <math>\hat{p}_x</math>, with the eigenvalue of</p> <ol style="list-style-type: none"> <li><math>\hbar^2 k</math></li> <li><math>\hbar k</math></li> <li><math>\hbar k^2</math></li> <li><math>\hbar^2 k^2</math></li> </ol> <p>जिस अभिलक्षणिक मान के लिए रेखिक संवेग संकारक, <math>\hat{p}_x</math>, का एक अभिलक्षणिक फलन <math>e^{ikx}</math> है, वह है</p> <ol style="list-style-type: none"> <li><math>\hbar^2 k</math></li> <li><math>\hbar k</math></li> <li><math>\hbar k^2</math></li> <li><math>\hbar^2 k^2</math></li> </ol> <p>A1 1 1 A2 2 2 A3 3 3 A4 4 4</p>	2.0	0.50
Objective Question				
50	701050	<p>Of the following atomic transitions, the allowed one is</p> <ol style="list-style-type: none"> <li><math>1S \rightarrow 5S</math></li> <li><math>3P \rightarrow 1D</math></li> <li><math>1S \rightarrow 1D</math></li> <li><math>3D \rightarrow 3P</math></li> </ol> <p>निम्नलिखित परमाण्विक संक्रमणों में जो एक अनुमत है, वह है</p> <ol style="list-style-type: none"> <li><math>1S \rightarrow 5S</math></li> <li><math>3P \rightarrow 1D</math></li> <li><math>1S \rightarrow 1D</math></li> <li><math>3D \rightarrow 3P</math></li> </ol> <p>A1 1 1 A2 2 2 A3 3 3 A4 4 4</p>	2.0	0.50
Objective Question				
51	701051		2.0	0.50

The number of unpaired electrons in  $B_2$  is

- 0
- 1
- 2
- 3

$B_2$  में अयुग्मित इलेक्ट्रॉनों की संख्या है/हैं

- 0
- 1
- 2
- 3

A1 1

∴

1

A2 2

∴

2

A3 3

∴

3

A4 4

∴

4

Objective Question

S2 701052

The molecule  $MX_5$  belongs to the point group  $D_{3h}$ . Elongation of both the axial M-X bonds yields **A** and elongation of one of the M-X equatorial bonds yields **B**.

2.0

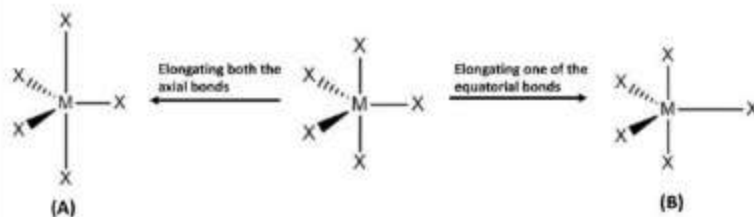
0.50



The point groups of **A** and **B**, respectively, are

- $C_{3v}$  and  $D_{3h}$
- $D_{3h}$  and  $C_{3v}$
- $C_{3v}$  and  $C_{2v}$
- $D_{3h}$  and  $C_{2v}$

अणु  $MX_5$  बिन्दु समूह  $D_{3h}$  से संबंधित है। दोनों अक्षीय M-X आबंधों का दीर्घत A देता है तथा निरक्षीय M-X आबंधों में किसी एक का दीर्घत B देता है।



[Elongating both the axial bonds: दोनों अक्षीय आबंधों का दीर्घत करने पर;

Elongating one of the equatorial bonds: निरक्षीय आबंधों में किसी एक का दीर्घत करने पर]

A तथा B के बिन्दु समूह हैं, क्रमशः

1.  $C_{3v}$  तथा  $D_{3h}$
2.  $D_{3h}$  तथा  $C_{3v}$
3.  $C_{3v}$  तथा  $C_{2v}$
4.  $D_{3h}$  तथा  $C_{2v}$

A1 1

:

1

A2 2

:

2

A3 3

:

3

A4 4

:

4

Objective Question

53 701053

For a proton, the gyromagnetic ratio is  $26.752 \times 10^7 \text{ rad T}^{-1} \text{ s}$ . The Larmor frequency for a proton (in MHz) in a 21.1 T magnetic field is, approximately,

1. 400
2. 500
3. 600
4. 900

एक प्रोटॉन के लिए, घूर्णचुंबकीय अनुपात  $26.752 \times 10^7 \text{ rad T}^{-1}$  है। 21.1 T चुंबकीय क्षेत्र में प्रोटॉन के लिए लारमर आवृत्ति (MHz में) जिसके सन्निकटतः है, वह है

1. 400
2. 500
3. 600
4. 900

A1 1

:

1

A2 2

:

2

2.0 0.50

A3 3

⋮

3

A4 4

⋮

4

Objective Question

54 701054

The thermodynamic variable 'X' in the equation,

$$\left(\frac{\partial S}{\partial P}\right)_T = \frac{1}{T} \left[ X + \left(\frac{\partial H}{\partial P}\right)_T \right] \text{ is}$$

1.  $V$
2.  $S$
3.  $-V$
4.  $C_p$

समीकरण,  $\left(\frac{\partial S}{\partial P}\right)_T = \frac{1}{T} \left[ X + \left(\frac{\partial H}{\partial P}\right)_T \right]$  में जो ऊष्मागतिकीय चर 'X' है

1.  $V$
2.  $S$
3.  $-V$
4.  $C_p$

A1 1

⋮

1

A2 2

⋮

2

A3 3

⋮

3

A4 4

⋮

4

Objective Question

55 701055

Molecule **B** is twice as heavy as molecule **A**. The ratio of the thermal de Broglie wavelength of the molecule **A** to that of the molecule **B** is

1.  $\sqrt{2} : 1$
2.  $2 : 1$
3.  $1 : 2$
4.  $1 : \sqrt{2}$

अणु **B**, अणु **A** से दोगुना भारी है। अणु **A** की ऊष्मीय दे ब्राग्ली तरंगदैर्घ्य का अणु **B** की ऊष्मीय डी ब्राग्ली तरंगदैर्घ्य से अनुपात है

1.  $\sqrt{2} : 1$
2.  $2 : 1$
3.  $1 : 2$
4.  $1 : \sqrt{2}$

A1 1

⋮

1

A2 2

⋮

2

2.0

0.50

2.0

0.50

2  
A3 3  
3  
A4 4  
4

Objective Question

56	701056	<p>For 0.001 M aqueous solutions of <math>\text{AlCl}_3</math>, <math>\text{CaCl}_2</math>, and <math>\text{KCl}</math> at <math>25^\circ\text{C}</math>, the correct order of Debye length is</p> <ol style="list-style-type: none"><li>1. <math>\text{AlCl}_3 &lt; \text{CaCl}_2 &lt; \text{KCl}</math></li><li>2. <math>\text{KCl} &lt; \text{CaCl}_2 &lt; \text{AlCl}_3</math></li><li>3. <math>\text{CaCl}_2 &lt; \text{KCl} &lt; \text{AlCl}_3</math></li><li>4. <math>\text{AlCl}_3 &lt; \text{KCl} &lt; \text{CaCl}_2</math></li></ol> <p>25 °C पर <math>\text{AlCl}_3</math>, <math>\text{CaCl}_2</math>, तथा <math>\text{KCl}</math> के 0.001 M जलीय विलयनों के लिए, डेबाई लंबाई का सही क्रम है</p> <ol style="list-style-type: none"><li>1. <math>\text{AlCl}_3 &lt; \text{CaCl}_2 &lt; \text{KCl}</math></li><li>2. <math>\text{KCl} &lt; \text{CaCl}_2 &lt; \text{AlCl}_3</math></li><li>3. <math>\text{CaCl}_2 &lt; \text{KCl} &lt; \text{AlCl}_3</math></li><li>4. <math>\text{AlCl}_3 &lt; \text{KCl} &lt; \text{CaCl}_2</math></li></ol>	2.0	0.50
----	--------	---	-----	------

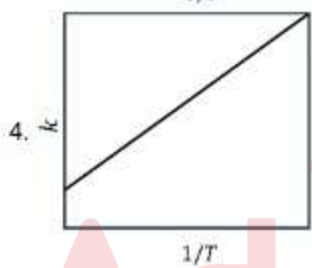
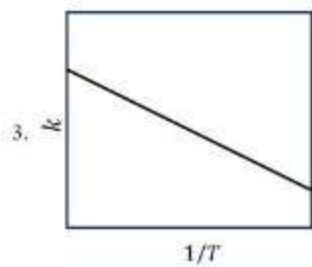
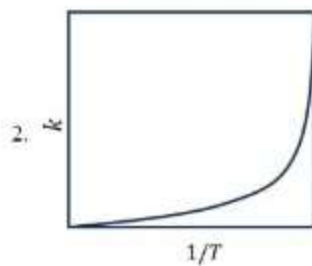
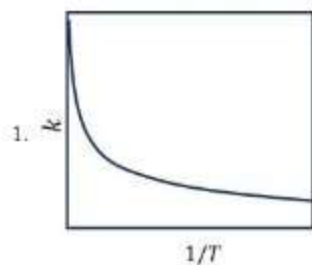
A1 1  
1  
A2 2  
2  
A3 3  
3  
A4 4  
4

Objective Question

57	701057		2.0	0.50
----	--------	--	-----	------

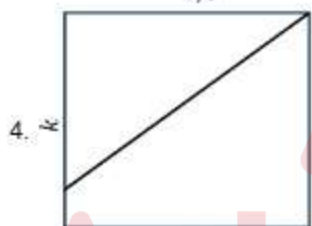
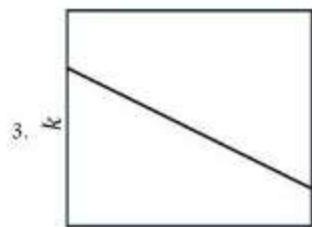
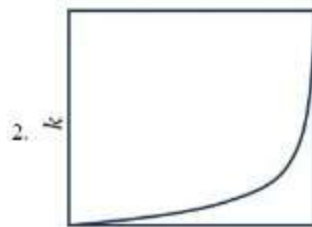
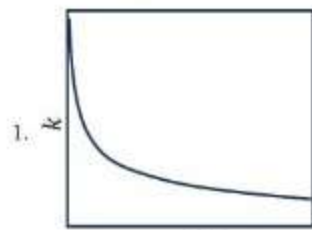


According to Arrhenius equation, the plot that correctly describes the temperature ( $T$ ) dependence of the rate constant ( $k$ ) is



Adda247

आरहेनियस समीकरण के अनुसार, जो आलेख दर स्थिरांक ( $k$ ) की तापआश्रिता ( $T$ ) को सही से वर्णित करता है, वह है



A1

1

1

A2

2

2

A3

3

3

A4

4

4

Objective Question

58 701058

Consider the following statements,

- I. Micelles form above the critical micelle concentration
- II. Micelles form above the Krafft temperature

The correct option is

1. Only I is true
2. Only II is true
3. Both I and II are true
4. Both I and II are false

2.0

0.50

निम्नलिखित कथनों पर विचार कीजिए,

1. मिसेल, क्रांतिक मिसेल सांद्रता से ऊपर बनते हैं।
- II. मिसेल, क्राफ्ट तापमान से ऊपर बनते हैं।

सही विकल्प है

1. केवल I सही है
2. केवल II सही है
3. I तथा II दोनों सही हैं
4. I तथा II दोनों गलत हैं

A1

1

A2

2

A3

3

A4

4

Objective Question

59 701059

For face centered cubic (FCC) packing of a monoatomic solid, the number of tetrahedral and octahedral holes within the unit cell, respectively, are

1. 8 and 4
2. 4 and 2
3. 16 and 16
4. 6 and 6

एकपरमाण्विक ठोस के फलक केंद्रित घनीय संकुलन के लिए, एकक सेल में चतुष्फलकीय तथा अष्टफलकीय छिद्रों की संख्या क्रमशः हैं

1. 8 तथा 4
2. 4 तथा 2
3. 16 तथा 16
4. 6 तथा 6

A1

1

A2

2

A3

3

A4

4

Objective Question

60 701060

2.0

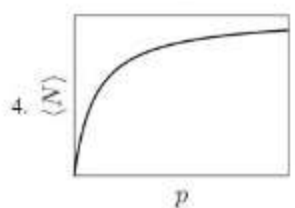
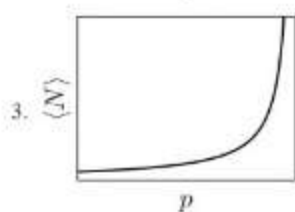
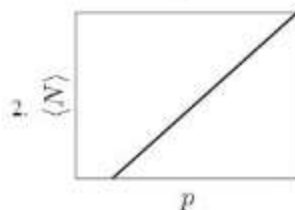
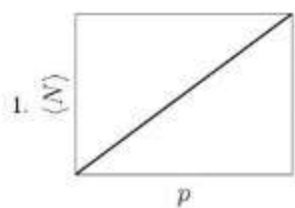
0.50

2.0

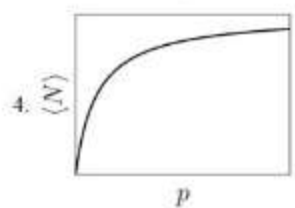
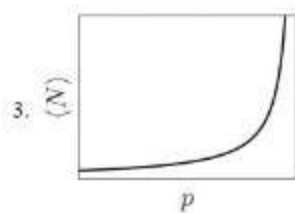
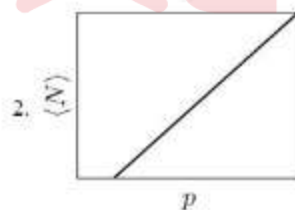
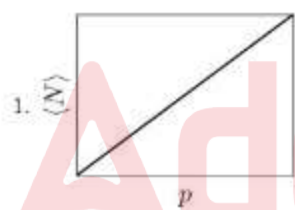
0.50



For step-wise polymerization, the correct plot of chain length ( $\langle N \rangle$ ) against degree of polymerization ( $p$ ) is



पदार्थ: बहुलक के लिए, बहुलक की मात्रा ( $p$ ) के विरुद्ध शृंखला लंबाई ( $\langle N \rangle$ ) का सही आलेख है



		<p>A1 1 ⋮ 1</p> <p>A2 2 ⋮ 2</p> <p>A3 3 ⋮ 3</p> <p>A4 4 ⋮ 4</p>		
Objective Question				
61	701061	<p><math>^{31}\text{P}</math> NMR spectrum of <math>\text{P}_4\text{S}_3</math> consists of (<math>^{31}\text{P}, I = \frac{1}{2}, 100\%</math> abundance)</p> <ol style="list-style-type: none"> <li>two doublets of triplets</li> <li>triplet of triplets</li> <li>two triplets of equal intensity</li> <li>a doublet and a quartet</li> </ol> <p><math>\text{P}_4\text{S}_3</math> के <math>^{31}\text{P}</math> NMR स्पेक्ट्रम में सम्मिलित है (<math>^{31}\text{P}, I = \frac{1}{2}, 100\%</math> बाहुल्यता)</p> <ol style="list-style-type: none"> <li>द्विकों के दो द्विक</li> <li>त्रिकों का त्रिक</li> <li>समान तीव्रता के दो त्रिक</li> <li>एक द्विक तथा एक चतुष्क</li> </ol> <p>A1 1 ⋮ 1</p> <p>A2 2 ⋮ 2</p> <p>A3 3 ⋮ 3</p> <p>A4 4 ⋮ 4</p>	4.0	1.00
Objective Question				
62	701062	<p>According to VSEPR theory, the shapes and geometries of <math>\text{SeF}_4</math> and <math>[\text{BrF}_4]^-</math>, respectively, are</p> <ol style="list-style-type: none"> <li>see-saw and trigonal bipyramidal; see-saw and trigonal bipyramidal</li> <li>square planar and octahedral; square planar and pentagonal pyramidal</li> <li>see-saw and trigonal bipyramidal; square planar and octahedral</li> <li>square planar and square bipyramidal; square planar and octahedral</li> </ol>	4.0	1.00

VSEPR के सिद्धांत के अनुसार,  $SeF_4$  तथा  $[BrF_4]^-$ , के आकार तथा ज्यामितियां हैं, क्रमशः

1. टेट्राहोनी तथा त्रिसमताक्ष द्विपिरैमिडी; टेट्राहोनी तथा त्रिसमताक्ष द्विपिरैमिडी
2. वर्ग समतलीय तथा अष्टफलकीय; वर्ग समतलीय तथा पंचकोणीय पिरैमिडी
3. टेट्राहोनी तथा त्रिसमताक्ष द्विपिरैमिडी; वर्ग समतलीय तथा अष्टफलकीय
4. वर्गतली तथा वर्ग द्विपिरैमिडी; वर्ग समतलीय तथा अष्टफलकीय

A1 1  
:  
1  
A2 2  
:  
2  
A3 3  
:  
3  
A4 4  
:  
4

Objective Question

63 701063

The option showing both the complexes obeying the  $18e^-$  rule is

1.  $[(\eta^5 - C_5H_5) RuCl(PPH_3)_2]$  and  $[(\eta^5 - C_5H_5)_2 ZrCl_2]$
2.  $[IrCl(CO)(PPH_3)_2]$  and  $[Co_2(CO)_8]$
3.  $[Re(CO)_5(PPF_3)]^+$  and  $[Ni(NH_3)_6]^{2+}$
4.  $[(\eta^5 - C_5H_5)(\eta^3 - C_5H_5)Fe(CO)]$  and  $[(\eta^3 - allyl)Mn(CO)_4]$

$18e^-$  नियम का पालन करने वाले दोनों संकुलों को दर्शाने वाला विकल्प है

1.  $[(\eta^5 - C_5H_5) RuCl(PPH_3)_2]$  तथा  $[(\eta^5 - C_5H_5)_2 ZrCl_2]$
2.  $[IrCl(CO)(PPH_3)_2]$  तथा  $[Co_2(CO)_8]$
3.  $[Re(CO)_5(PPF_3)]^+$  तथा  $[Ni(NH_3)_6]^{2+}$
4.  $[(\eta^5 - C_5H_5)(\eta^3 - C_5H_5)Fe(CO)]$  तथा  $[(\eta^3 - allyl)Mn(CO)_4]$

A1 1  
:  
1  
A2 2  
:  
2  
A3 3  
:  
3  
A4 4  
:  
4

Objective Question

64 701064

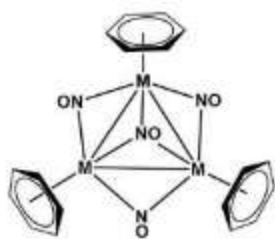
4.0

1.00

4.0

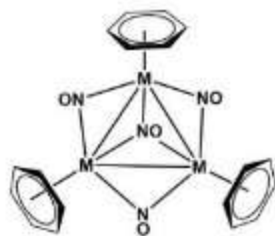
1.00

The compound shown below is a 48-electron metal cluster (not counting  $M-M$  bonds). The metal  $M$  is



1.  $V$
2.  $Fe$
3.  $Mn$
4.  $Cr$

नीचे दिखाया गया यौगिक एक 48-इलेक्ट्रॉन धातु गुच्छ (cluster) है ( $M-M$  आबंधों की गणना नहीं करें). धातु  $M$  है



1.  $V$
2.  $Fe$
3.  $Mn$
4.  $Cr$

A1 1

1

A2 2

2

A3 3

3

A4 4

4

Objective Question

65 701065

$[\text{Co}(\text{NH}_3)_5(\text{X})]\text{Cl}_2$  (**1**) on reaction with aqueous  $\text{NH}_3$  followed by the addition of  $\text{NaNO}_2/\text{conc. HCl}$  yields  $[\text{Co}(\text{NH}_3)_5(\text{Y})]\text{Cl}_2$  (**2**). Reaction of **1** with  $\text{NaNO}_2$  results in  $[\text{Co}(\text{NH}_3)_5(\text{Z})]\text{Cl}_2$  (**3**). Complex **2** shows two IR spectral bands at  $1310$  and  $1430 \text{ cm}^{-1}$ , whereas complex **3** shows the same at  $1065$  and  $1470 \text{ cm}^{-1}$ . **X**, **Y** and **Z**, respectively, are

1. **X** =  $\text{Cl}$ ; **Y** =  $\text{NO}_2$ ; **Z** =  $\text{ONO}$
2. **X** =  $\text{H}_2\text{O}$ ; **Y** =  $\text{NO}_2$ ; **Z** =  $\text{ONO}$
3. **X** =  $\text{Cl}$ ; **Y** =  $\text{ONO}$ ; **Z** =  $\text{NO}_2$
4. **X** =  $\text{H}_2\text{O}$ ; **Y** =  $\text{ONO}$ ; **Z** =  $\text{NO}_2$

4.0

1.00

जलीय  $\text{NH}_3$  के साथ  $[\text{Co}(\text{NH}_3)_5(\text{X})]\text{Cl}_2$  (1) अभिक्रिया करने पर तथा उसके उपरान्त  $\text{NaNO}_2$ /सांद्र  $\text{HCl}$  को डालने पर  $[\text{Co}(\text{NH}_3)_5(\text{Y})]\text{Cl}_2$  (2) उत्पन्न होता है।  $\text{NaNO}_2$  के साथ 1 की अभिक्रिया के परिणामस्वरूप  $[\text{Co}(\text{NH}_3)_5(\text{Z})]\text{Cl}_2$  (3) बनता है। संकुल 2, 1310 तथा  $1430 \text{ cm}^{-1}$  पर दो IR स्पेक्ट्रल बैंडों को दर्शाता है, जबकि संकुल 3 समान बैंडों को  $1065$  तथा  $1470 \text{ cm}^{-1}$  पर दर्शाता है। X, Y तथा Z, हैं, क्रमशः

1. X = Cl; Y =  $\text{NO}_2$ ; Z = ONO
2. X =  $\text{H}_2\text{O}$ ; Y =  $\text{NO}_2$ ; Z = ONO
3. X = Cl; Y = ONO; Z =  $\text{NO}_2$
4. X =  $\text{H}_2\text{O}$ ; Y = ONO; Z =  $\text{NO}_2$

A1 1

∴

1

A2 2

∴

2

A3 3

∴

3

A4 4

∴

4

Objective Question

66 701066

The oxy-hemocyanin exhibits a resonance Raman signal at  $744 \text{ cm}^{-1}$  for  $^{16}\text{O}-^{16}\text{O}$  stretch, following its excitation at  $575 \text{ nm}$ . The value of the  $^{18}\text{O}-^{18}\text{O}$  stretch for an  $^{18}\text{O}_2$  substituted oxy-hemocyanin, and the origin of the absorption band, are

1.  $702 \text{ cm}^{-1}$  and  $\text{O}_2^- \rightarrow \text{Cu(II)}$  charge transfer
2.  $702 \text{ cm}^{-1}$  and  $\text{O}_2^{2-} \rightarrow \text{Cu(II)}$  charge transfer
3.  $664 \text{ cm}^{-1}$  and  $\text{O}_2^- \rightarrow \text{Cu(II)}$  charge transfer
4.  $792 \text{ cm}^{-1}$  and  $\text{O}_2^{2-} \rightarrow \text{Cu(II)}$  charge transfer

$575 \text{ nm}$  पर अपनी उत्तेजना के बाद,  $^{16}\text{O}-^{16}\text{O}$  तन्त के लिए  $744 \text{ cm}^{-1}$  पर ऑक्सी-हीमोसायनीन, एक अनुनाद रमन संकेत प्रदर्शित करता है। एक  $^{18}\text{O}_2$  प्रतिस्थापित ऑक्सी-हीमोसायनीन के लिए  $^{18}\text{O}-^{18}\text{O}$  तन्त का मान, तथा अवशोषण बैंड की उत्पत्ति का कारण हैं

1.  $702 \text{ cm}^{-1}$  तथा  $\text{O}_2^- \rightarrow \text{Cu(II)}$  आवेश स्थानांतरण
2.  $702 \text{ cm}^{-1}$  तथा  $\text{O}_2^{2-} \rightarrow \text{Cu(II)}$  आवेश स्थानांतरण
3.  $664 \text{ cm}^{-1}$  तथा  $\text{O}_2^- \rightarrow \text{Cu(II)}$  आवेश स्थानांतरण
4.  $792 \text{ cm}^{-1}$  तथा  $\text{O}_2^{2-} \rightarrow \text{Cu(II)}$  आवेश स्थानांतरण

A1 1

∴

1

A2 2

∴

2

A3 3

∴

3

4.0

1.00

A4 4  
:  
4

Objective Question

67 701067

The  $^{19}\text{F}$  NMR spectrum of  $[\text{XeF}_5]^-$  ion shows

4.0 1.00

$[^{129}\text{Xe}, I = \frac{1}{2}, 26.5\% \text{ abundance}]$

1. a doublet with satellite peaks
2. a triplet and a quartet with satellite peaks for both
3. a doublet and a quintet with satellite peaks for both
4. a singlet with satellite peaks

$[\text{XeF}_5]^-$  आयन का  $^{19}\text{F}$  NMR स्पेक्ट्रम दर्शाता है

$[^{129}\text{Xe}, I = \frac{1}{2}, 26.5\% \text{ बाहुल्यता}]$

1. अनुषंगी शिखरों के साथ एक द्विक
2. एक त्रिक तथा एक चतुष्क, दोनों अनुषंगी शिखरों के साथ
3. एक द्विक तथा एक पंचक, दोनों अनुषंगी शिखरों के साथ
4. अनुषंगी शिखरों के साथ एक एकक

A1 1  
:  
1

A2 2  
:  
2

A3 3  
:  
3

A4 4  
:  
4

Objective Question

68 701068

The correct option with respect to the metal-metal distance ( $d$ ) and the magnetic property of  $[\text{Cr}_2\text{Cl}_9]^{3-}$  (A) and  $[\text{W}_2\text{Cl}_9]^{3-}$  (B) is

4.0 1.00

1.  $d_{\text{Cr}\cdots\text{Cr}} > d_{\text{W}\cdots\text{W}}$ ; A is paramagnetic and B is diamagnetic
2.  $d_{\text{Cr}\cdots\text{Cr}} > d_{\text{W}\cdots\text{W}}$ ; A is diamagnetic and B is paramagnetic
3.  $d_{\text{W}\cdots\text{W}} > d_{\text{Cr}\cdots\text{Cr}}$ ; A is diamagnetic and B is paramagnetic
4.  $d_{\text{W}\cdots\text{W}} > d_{\text{Cr}\cdots\text{Cr}}$ ; A is paramagnetic and B is diamagnetic

$[\text{Cr}_2\text{Cl}_9]^{3-}$  (A) तथा  $[\text{W}_2\text{Cl}_9]^{3-}$  (B) की धातु-धातु दूरी ( $d$ ) तथा चुंबकीय गुणधर्म के संबंध के बारे में सही विकल्प है

1.  $d_{\text{Cr}\cdots\text{Cr}} > d_{\text{W}\cdots\text{W}}$ ; A अनुचुंबकीय है तथा B प्रतिचुंबकीय है
2.  $d_{\text{Cr}\cdots\text{Cr}} > d_{\text{W}\cdots\text{W}}$ ; A प्रतिचुंबकीय है तथा B अनुचुंबकीय है
3.  $d_{\text{W}\cdots\text{W}} > d_{\text{Cr}\cdots\text{Cr}}$ ; A प्रतिचुंबकीय है तथा B अनुचुंबकीय है
4.  $d_{\text{W}\cdots\text{W}} > d_{\text{Cr}\cdots\text{Cr}}$ ; A अनुचुंबकीय है तथा B प्रतिचुंबकीय है

A1 1  
:  
1

A2 2  
:  
2

A3 3

...

3

A4 4

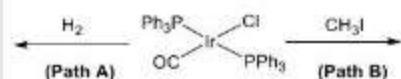
...

4

## Objective Question

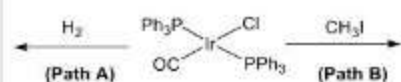
69 701069

In the oxidative addition of trans-[IrCl(CO)(PPh<sub>3</sub>)<sub>2</sub>] with H<sub>2</sub> (**path A**) and with CH<sub>3</sub>I (**path B**), the d-orbitals involved in the electron transfer from iridium to H<sub>2</sub> and CH<sub>3</sub>I, respectively, are



1.  $d_{x^2-y^2}$  (in A);  $d_{z^2}$  (in B)
2.  $d_{z^2}$  (in A);  $d_{xy}$  or  $d_{xz}$  or  $d_{yz}$  (in B)
3.  $d_{xy}$  or  $d_{xz}$  or  $d_{yz}$  (in A);  $d_{z^2}$  (in B)
4.  $d_{z^2}$  (in A);  $d_{x^2-y^2}$  (in B)

H<sub>2</sub> (पथ A) तथा CH<sub>3</sub>I (पथ B) के साथ [IrCl(CO)(PPh<sub>3</sub>)<sub>2</sub>] के ऑक्सीकरण संकलन में, इरिडियम से H<sub>2</sub> तथा CH<sub>3</sub>I तक इलेक्ट्रॉन स्थानांतरण में सम्मिलित d-कक्षक हैं, क्रमशः



1. (A में)  $d_{x^2-y^2}$ ; (B में)  $d_{z^2}$
2. (A में)  $d_{z^2}$  (B में)  $d_{xy}$  or  $d_{xz}$  or  $d_{yz}$
3. (A में)  $d_{xy}$  or  $d_{xz}$  or  $d_{yz}$  (B में)  $d_{z^2}$
4. (A में)  $d_{z^2}$  (B में);  $d_{x^2-y^2}$

A1 1

...

1

A2 2

...

2

A3 3

...

3

A4 4

...

4

## Objective Question

70 701070

The absorption spectrum of Ln<sup>3+</sup> is normally sharp and weak in intensity. However, Sm<sup>3+</sup> (4f<sup>5</sup>) in dil. acidic solution shows a broad and moderately intense transition at 495 nm. This transition is

1.  $^6H_{5/2} \rightarrow ^8H_{7/2}$
2.  $^6H_{5/2} \rightarrow ^4G_{5/2}$
3.  $^6H_{5/2} \rightarrow ^6H_{9/2}$
4.  $^4G_{5/2} \rightarrow ^4G_{7/2}$

4.0

1.00

4.0

1.00



$\text{Ln}^{3+}$  का अवशोषण स्पेक्ट्रम सामान्यतः तीव्रता में तीक्ष्ण तथा दुर्बल होता है। जबकि, तनु अम्लीय विलयन में  $\text{Sm}^{3+}$  ( $4f^5$ ) 495 nm पर एक चौड़ा तथा साधारणतः तीव्र संक्रमण दर्शाता है। यह संक्रमण है

1.  ${}^6\text{H}_{5/2} \rightarrow {}^6\text{H}_{7/2}$
2.  ${}^6\text{H}_{5/2} \rightarrow {}^4\text{G}_{5/2}$
3.  ${}^6\text{H}_{5/2} \rightarrow {}^6\text{H}_{9/2}$
4.  ${}^4\text{G}_{5/2} \rightarrow {}^4\text{G}_{7/2}$

A1 1

:

1

A2 2

:

2

A3 3

:

3

A4 4

:

4

Objective Question

71 701071

A molecule shows two absorptions at 896 and 960 MHz in its  $^{13}\text{C}$  NMR spectrum in a magnetic field of 3T. The corresponding chemical shifts in ppm are ( $^{13}\text{C}$  magnetogyric ratio  $\gamma = 6.72 \times 10^7 \text{ rad T}^{-1} \text{ s}^{-1}$ ;  $I = \frac{1}{2}$ )

1. 12.8 and 13.7
2. 14 and 15
3. 32 and 34
4. 28 and 30

3T के चुंबकीय क्षेत्र में एक अणु अपने  $^{13}\text{C}$  NMR स्पेक्ट्रम में 896 तथा 960 MHz पर दो अवशोषणों को दर्शाता है। ppm में संगत रासायनिक स्थितियाँ हैं ( $^{13}\text{C}$  घूर्णचुंबकीय अनुपात  $\gamma = 6.72 \times 10^7 \text{ rad T}^{-1} \text{ s}^{-1}$ ;  $I = \frac{1}{2}$ )

1. 12.8 तथा 13.7
2. 14 तथा 15
3. 32 तथा 34
4. 28 तथा 30

A1 1

:

1

A2 2

:

2

A3 3

:

3

A4 4

:

4

Objective Question

72 701072

4.0 1.00

4.0 1.00



Some reagents and their applications are given in the table below.

Reagents→ Applications↓	Fricke solution	CuSO <sub>4</sub> in basic solution	MnSO <sub>4</sub> in basic KI solution	Ammonium Ce(IV) sulfate solution
A	[·OH] concentration measurement	Free glucose measurement	dissolved oxygen measurement	Fe <sup>2+</sup> estimation in potable water
B	Fe <sup>2+</sup> estimation in potable water	Free glucose measurement	[·OH] concentration measurement	dissolved oxygen measurement
C	dissolved oxygen measurement	Fe <sup>2+</sup> estimation in potable water	Free glucose measurement	[·OH] concentration measurement
D	[·OH] concentration measurement	dissolved oxygen measurement	Free glucose measurement	Fe <sup>2+</sup> estimation in potable water

The option showing the correct match of reagents and their application, is

1. A
2. B
3. C
4. D

निम्न सारणी में कुछ अभिकर्मकों तथा उनके अनुप्रयोगों को दिया गया है।

अभिकर्मक→ अनुप्रयोग↓	फ्रिके विलयन	क्षारीय विलयन में CuSO <sub>4</sub>	क्षारीय KI विलयन में MnSO <sub>4</sub>	अमोनियम Ce(IV) सल्फेट विलयन
A	[·OH] सान्द्रता मापन	मुक्त ग्लूकोज मापन	विलीन ऑक्सीजन मापन	सुवाहय जल में Fe <sup>2+</sup> आकलन
B	सुवाहय जल में Fe <sup>2+</sup> आकलन	मुक्त ग्लूकोज मापन	[·OH] सान्द्रता मापन	विलीन ऑक्सीजन मापन
C	विलीन ऑक्सीजन मापन	सुवाहय जल में Fe <sup>2+</sup> आकलन	मुक्त ग्लूकोज मापन	[·OH] सान्द्रता मापन
D	[·OH] सान्द्रता मापन	विलीन ऑक्सीजन मापन	मुक्त ग्लूकोज मापन	सुवाहय जल में Fe <sup>2+</sup> आकलन

अभिकर्मकों तथा उनके अनुप्रयोगों के सही मिलान को दर्शाने वाला विकल्प है

1. A
2. B
3. C
4. D

A1 1

1

A2 2

2

A3 3

3

A4 4

4

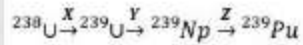
## Objective Question

73 701073

In the following nuclear reaction, **X**, **Y** and **Z**, respectively, are

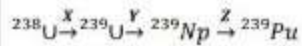
4.0

1.00



1.  $(n)$ ,  $-\beta$ , and  $+\beta$
2.  $(n, \gamma)$ ,  $+\beta$ , and  $+\beta$
3.  $(+\beta)$ ,  $(n, \gamma)$ , and  $-\beta$
4.  $(n, \gamma)$ ,  $-\beta$ , and  $-\beta$

निम्नलिखित नाभिकीय अभिक्रिया में, **X**, **Y** तथा **Z**, हैं, क्रमशः



1.  $(n)$ ,  $-\beta$ , तथा  $+\beta$
2.  $(n, \gamma)$ ,  $+\beta$ , तथा  $+\beta$
3.  $(+\beta)$ ,  $(n, \gamma)$ , तथा  $-\beta$
4.  $(n, \gamma)$ ,  $-\beta$ , तथा  $-\beta$

A1 1

:

1

A2 2

:

2

A3 3

:

3

A4 4

:

4

## Objective Question

74 701074

Consider the following data with respect to J-J coupled states in  $\text{Nd}^{3+}$  (atomic number = 60) ion

4.0

1.00

	Lowest	Highest
A	${}^4I_{9/2}$	${}^4I_{15/2}$
B	${}^4I_{7/2}$	${}^4I_{9/2}$
C	${}^4H_{9/2}$	${}^4H_{9/2}$
D	${}^4H_{9/2}$	${}^4H_{13/2}$

The option showing the correct lowest and highest states of  $\text{Nd}^{3+}$ , is

1. A
2. B
3. C
4. D

$\text{Nd}^{3+}$  (परमाणु क्रमांक = 60) आयन में  $J-J$  युग्मित अवस्थाओं के संबंध में निम्नलिखित आंकड़ों पर विचार कीजिए

	Lowest	Highest
A	${}^4I_{9/2}$	${}^4I_{15/2}$
B	${}^4I_{7/2}$	${}^4I_{9/2}$
C	${}^4H_{9/2}$	${}^4H_{9/2}$
D	${}^4H_{9/2}$	${}^4H_{13/2}$

$\text{Nd}^{3+}$  के सही निम्नतम तथा उच्चतम अवस्थाओं को दर्शाने वाला विकल्प है

1. A
2. B
3. C
4. D

A1 1

⋮

1

A2 2

⋮

2

A3 3

⋮

3

A4 4

⋮

4

Objective Question

75 701075

Complete hydrolysis of  $\text{XeF}_6$  gives **P**, whereas alkaline hydrolysis of  $\text{XeF}_6$  gives **Q** and **R** as the major products. **P**, **Q**, and **R**, respectively, are

1.  $\text{XeO}_3$ ,  $\text{XeO}_6^{4-}$ , and  $\text{Xe}$
2.  $\text{XeO}_4$ ,  $\text{HXeO}_6^{3-}$ , and  $\text{Xe}$
3.  $\text{XeO}_4$ ,  $\text{Xe}$ , and  $\text{XeO}_6^{4-}$
4.  $\text{HXeO}_4^-$ ,  $\text{XeO}_3$ , and  $\text{XeO}_6^{4-}$

$\text{XeF}_6$  का पूर्ण जल अपघटन **P** देता है, जबकि  $\text{XeF}_6$  का क्षारीय जल अपघटन मुख्य उत्पादों के रूप में **Q** तथा **R** देता है। **P**, **Q**, तथा **R**, हैं, क्रमशः

1.  $\text{XeO}_3$ ,  $\text{XeO}_6^{4-}$ , तथा  $\text{Xe}$
2.  $\text{XeO}_4$ ,  $\text{HXeO}_6^{4-}$ , तथा  $\text{Xe}$
3.  $\text{XeO}_4$ ,  $\text{Xe}$ , तथा  $\text{XeO}_6^{4-}$
4.  $\text{HXeO}_4^-$ ,  $\text{XeO}_3$ , तथा  $\text{XeO}_6^{4-}$

A1 1

⋮

1

A2 2

⋮

2

A3 3

⋮

3

4.0

1.00

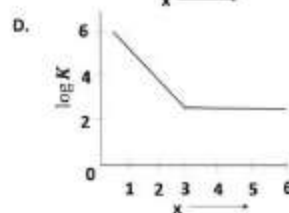
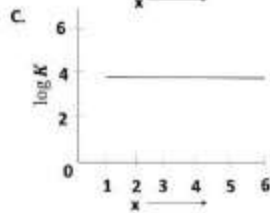
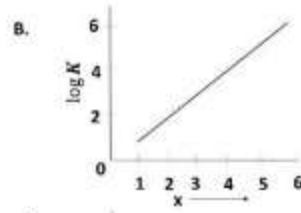
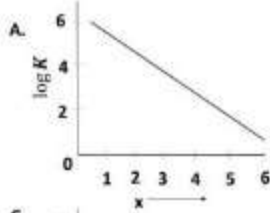
A4  
4  
4

Objective Question

76 701076

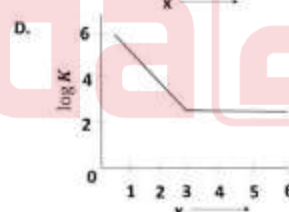
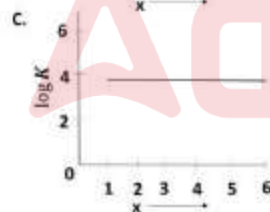
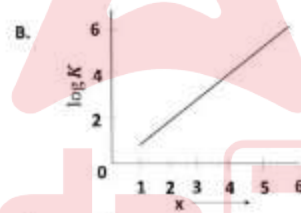
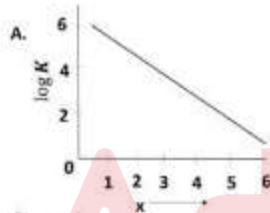
The correct plot of  $\log K$  vs  $x$  ( $K$  = stepwise stability constant) for the complex  $[Al(OH_2)_{6-x}F_x]^{(3-x)+}$  ( $x = 1 - 6$ ) is

4.0 1.00



1. A
2. B
3. C
4. D

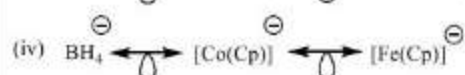
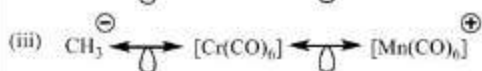
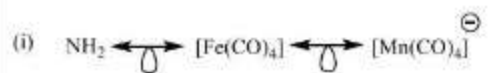
संकुल  $[Al(OH_2)_{6-x}F_x]^{(3-x)+}$  ( $x = 1 - 6$ ), के लिए  $\log K$  vs  $x$  ( $K$  = पदशः स्थायित्व स्थिरांक) का सही आलेख है



1. A
2. B
3. C
4. D

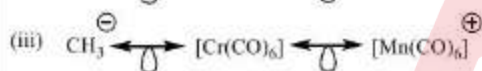
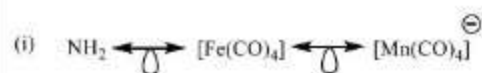
A1 1  
A2 2  
A3 3  
A4 4

The correct set of isolobal species is



1. (i)
2. (ii)
3. (iii)
4. (iv)

आइसोलोबल स्पीशीज का सही समुच्चय है



1. (i)
2. (ii)
3. (iii)
4. (iv)

A1

1

1

A2

2

2

A3

3

3

A4

4

4

Consider the nuclear shape of  $^{14}\text{N}_7$  and  $^{17}\text{O}_8$

	$^{14}\text{N}_7$	$^{17}\text{O}_8$
A	Prolate	Oblate
B	Oblate	Spherical
C	Oblate	Prolate
D	Spherical	Oblate

The option giving the correct shape, is

1. A
2. B
3. C
4. D

$^{14}\text{N}_7$  तथा  $^{17}\text{O}_8$  के नाभिकीय आकृति पर विचार कीजिए

	$^{14}\text{N}_7$	$^{17}\text{O}_8$
A	दीर्घाक्ष	लघ्वक्ष
B	लघ्वक्ष	गोलीय
C	लघ्वक्ष	दीर्घाक्ष
D	गोलीय	लघ्वक्ष

सही आकार दर्शाने वाला विकल्प है

1. A
2. B
3. C
4. D

A1 1

1

A2 2

2

A3 3

3

A4 4

4

Objective Question

79 701079

The following statements are given with respect to the symmetry operations and symmetry elements.

- $\text{BF}_3$  possesses an  $S_3$  axis
- $\text{C}_2\text{H}_6$  in a staggered conformation possesses an  $S_6$  axis
- Benzene molecule possesses three  $\sigma_v$ -planes
- Water molecule possesses  $C_2$  axis and  $\sigma_h$ -plane

The option giving the correct statements, is

1. B, C and D only
2. A, B and C only
3. A, B and D only
4. A, B, C and D

4.0 1.00

सममिति संकियाओं तथा सममिति तत्वों के संबंध में निम्नलिखित कथनों को दिया गया है।

- A.  $\text{BF}_3$  में एक  $S_3$  अक्ष है।
- B. सांतरित संरूपण में  $\text{C}_2\text{H}_6$  के पास एक  $S_6$  अक्ष है।
- C. बेन्जीन अणु में तीन  $\sigma_p$ -समतल होते हैं।
- D. जल अणु में  $C_2$  अक्ष तथा  $\sigma_h$ -समतल होते हैं।

सही कथनों को देने वाला विकल्प है

- 1. B, C तथा D
- 2. A, B तथा C
- 3. A, B तथा D
- 4. A, B, C तथा D

A1

1

A2

2

A3

3

A4

4

Objective Question

80 701080

Reaction of an aqueous solution of X with NaOH forms a white gelatinous precipitate. Dissolution of this precipitate in excess NaOH gives Y. Bubbling  $\text{H}_2\text{S}$  gas into Y results in the formation of a white precipitate Z. Reaction of Z with dil.  $\text{H}_2\text{SO}_4$  gives X. The X, Y and Z, respectively, are

- 1. X =  $\text{PbSO}_4$ , Y =  $\text{Pb(OH)}_2$ , Z = PbS
- 2. X =  $\text{ZnSO}_4$ , Y =  $\text{Zn(OH)}_2$ , Z = ZnS
- 3. X =  $\text{MnSO}_4$ , Y =  $\text{Mn(OH)}_2$ , Z = MnS
- 4. X =  $\text{CoSO}_4$ , Y =  $\text{Co(OH)}_2$ , Z = CoS

NaOH के साथ X जलीय विलयन की अभिक्रिया से एक सफेद जिलेटिनी अवक्षेप बनता है। आधिक्य NaOH में इस अवक्षेप का विलयन Y देता है। Y में  $\text{H}_2\text{S}$  के बुदबुद के परिणामस्वरूप एक सफेद अवक्षेप Z बनता है। तब  $\text{H}_2\text{SO}_4$  के साथ Z की अभिक्रिया X देता है। X, Y तथा Z हैं, क्रमशः

- 1. X =  $\text{PbSO}_4$ , Y =  $\text{Pb(OH)}_2$ , Z = PbS
- 2. X =  $\text{ZnSO}_4$ , Y =  $\text{Zn(OH)}_2$ , Z = ZnS
- 3. X =  $\text{MnSO}_4$ , Y =  $\text{Mn(OH)}_2$ , Z = MnS
- 4. X =  $\text{CoSO}_4$ , Y =  $\text{Co(OH)}_2$ , Z = CoS

A1

1

A2

2

A3

3

4.0

1.00

A4 4  
 ∴  
 4

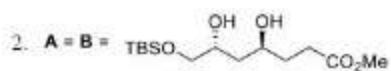
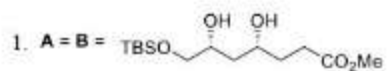
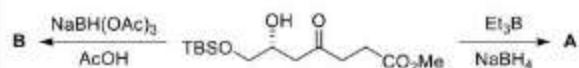
Objective Question

81 701081

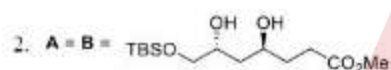
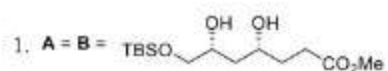
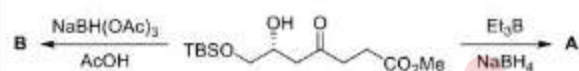
The major products **A** and **B** formed in the following transformations are

4.0

1.00



निम्नलिखित रूपांतरणों में विरचित मुख्य उत्पाद **A** तथा **B** हैं



A1 1  
 ∴

1

A2 2  
 ∴

2

A3 3  
 ∴

3

A4 4  
 ∴

4

Objective Question

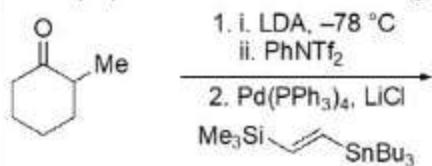
82 701082

4.0

1.00

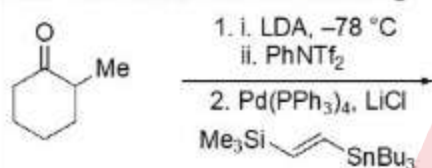


The major product formed in the following reaction sequence is



- 1.
- 2.
- 3.
- 4.

निम्नलिखित अभिक्रिया क्रम में विरचित मुख्य उत्पाद है



- 1.
- 2.
- 3.
- 4.

A1 1

∴

1

A2 2

∴

2

A3 3

∴

3

A4 4

∴

4

Objective Question

83 701083

4.0 1.00

The correct set of reagents that can affect the following conversion is



- i. *m*-CPBA; ii. NaBH<sub>3</sub>CN, BF<sub>3</sub>·OEt<sub>2</sub>
- i. OsO<sub>4</sub>, NMO; ii. TsCl, pyridine; iii. LiAlH<sub>4</sub>
- i. *m*-CPBA; ii. LiAlH<sub>4</sub>
- i. OsO<sub>4</sub>, NMO; ii. PhCO<sub>2</sub>H, PPh<sub>3</sub>, DEAD

अभिकर्मकों का सही समुच्चय जो निम्नलिखित रूपांतरण को प्रभावित कर सकता है, वह है



- i. *m*-CPBA; ii. NaBH<sub>3</sub>CN, BF<sub>3</sub>·OEt<sub>2</sub>
- i. OsO<sub>4</sub>, NMO; ii. TsCl, pyridine; iii. LiAlH<sub>4</sub>
- i. *m*-CPBA; ii. LiAlH<sub>4</sub>
- i. OsO<sub>4</sub>, NMO; ii. PhCO<sub>2</sub>H, PPh<sub>3</sub>, DEAD

A1

1

A2

2

A3

3

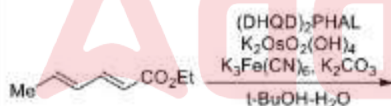
A4

4

Objective Question

84 701084

The major product formed in the following reaction is

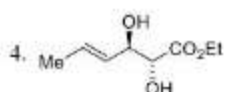
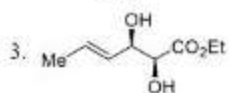
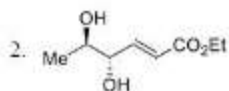
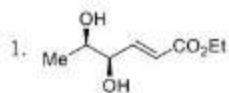
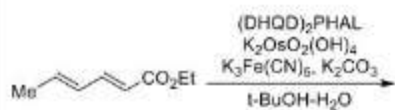


- 
- 
- 
- 

4.0

1.00

निम्नलिखित अभिक्रिया में विरचित मुख्य उत्पाद है



A1 1

1

A2 2

2

A3 3

3

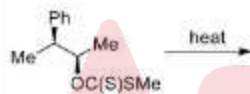
A4 4

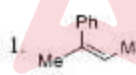
4

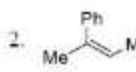
Objective Question

85 701085

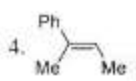
The correct statement about the following reaction is



1.  is formed through *anti* elimination

2.  is formed through *syn* elimination

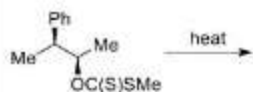
3.  is formed through *anti* elimination

4.  is formed through *syn* elimination

4.0

1.00

निम्नलिखित अभिक्रिया के बारे में सही कथन है



1. प्रति निराकरण (anti elimination) के माध्यम से बनता है।
2. सम निराकरण (syn elimination) के माध्यम से बनता है।
3. प्रति निराकरण (anti elimination) के माध्यम से बनता है।
4. सम निराकरण (syn elimination) के माध्यम से बनता है।

A1 1

1

A2 2

2

A3 3

3

A4 4

4

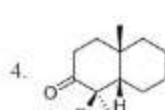
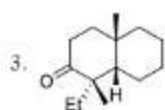
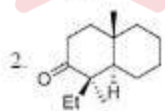
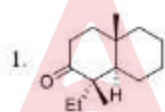
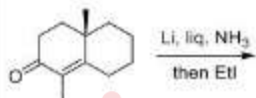
Objective Question

86 701086

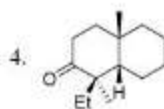
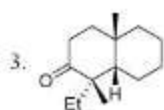
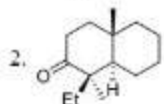
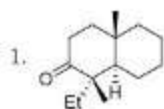
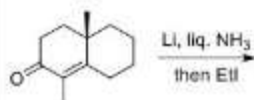
The major product formed in the following reaction is

4.0

1.00



निम्नलिखित अभिक्रिया में विरचित मुख्य उत्पाद है



A1 1

∴ 1

A2 2

∴ 2

A3 3

∴ 3

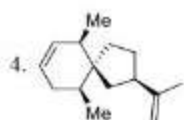
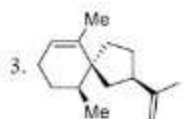
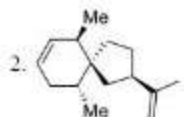
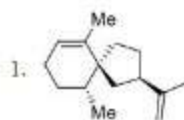
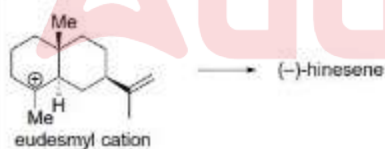
A4 4

∴ 4

Objective Question

87 701087

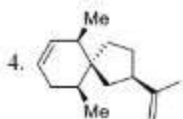
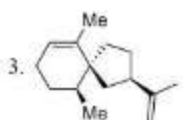
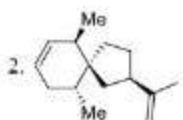
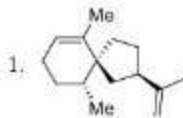
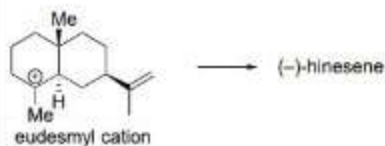
Upon catalysis by hinesene synthase, eudesmyl cation shown below undergoes a sequential hydride shift, ring contraction and loss of proton to form (-)-hinesene. The correct structure of (-)-hinesene is



4.0

1.00

हायनेसिन सिन्थेज द्वारा उत्प्रेरण पर, नीचे दर्शाया गया यूडेस्माइल धनायन (-)-हायनेसीन बनाने के लिए एक क्रमशः हाइड्राइड सुति, बलय संकुचन तथा प्रोटॉन की क्षति से गुजरता है। (-)-हायनेसीन की सही संरचना है



A1 1

1

A2 2

2

A3 3

3

A4 4

4

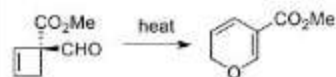
Objective Question

88 701088

The mechanism of the following reaction involves

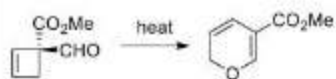
4.0

1.00



- A.  $4e^-$  conrotatory electrocyclic reaction
  - B. [2+2] cycloreversion
  - C.  $6e^-$  disrotatory electrocyclic reaction
  - D. [4+2] cycloaddition
1. A and B  
 2. A and C  
 3. B and D  
 4. C and D

निम्नलिखित अभिक्रिया की क्रियाविधि में सम्मिलित है



- A.  $4e^-$  समघूर्णनी (conrotatory) इलेक्ट्रोसाइक्लिक अभिक्रिया  
 B. [2+2] चक्रीउत्क्रमण (cycloreversion)  
 C.  $6e^-$  विपक्षघूर्णनी (disrotatory) इलेक्ट्रोसाइक्लिक अभिक्रिया  
 D. [4+2] चक्रीसंकलन (cycloaddition)

1. A तथा B  
 2. A तथा C  
 3. B तथा D  
 4. C तथा D

A1 1

1

A2 2

2

A3 3

3

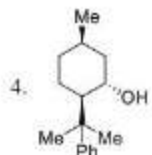
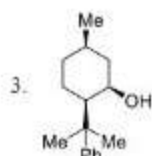
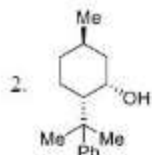
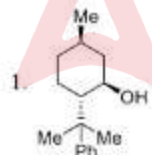
A4 4

4

Objective Question

89 701089

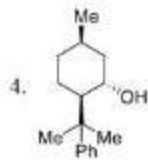
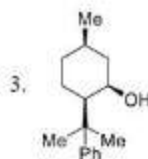
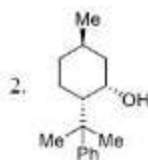
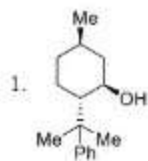
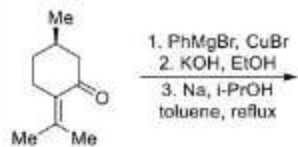
The major product formed in the following reaction sequence is



4.0

1.00

निम्नलिखित अभिक्रिया क्रम में विरचित मुख्य उत्पाद है



A1 1

1

A2 2

2

A3 3

3

A4 4

4

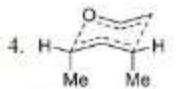
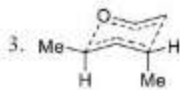
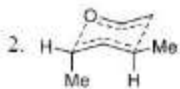
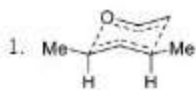
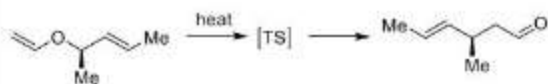
Objective Question

90 701090

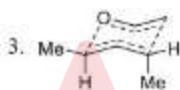
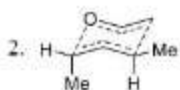
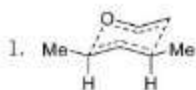
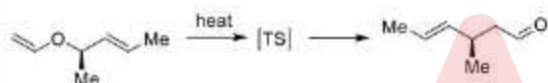
4.0 1.00



The transition state (TS) structure that would lead to the product in the following reaction is



निम्नलिखित अभिक्रिया में जो संक्रमण अवस्था (TS) संरचना उत्पाद की ओर अग्रसरित करेगा, वह है



A1

1

1

A2

2

2

A3

3

3

A4

4

4

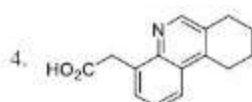
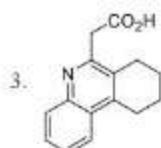
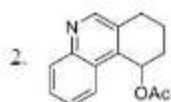
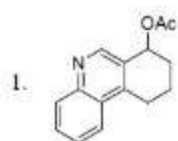
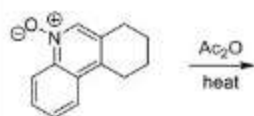
Objective Question

91 701091

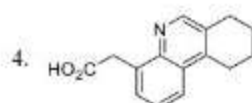
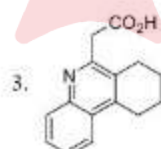
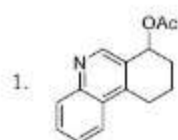
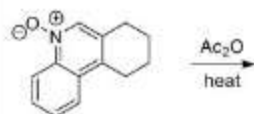
4.0

1.00

The major product formed in the following reaction is



निम्नलिखित अभिक्रिया में विरचित मुख्य उत्पाद है



A1 1

⋮

1

A2 2

⋮

2

A3 3

⋮

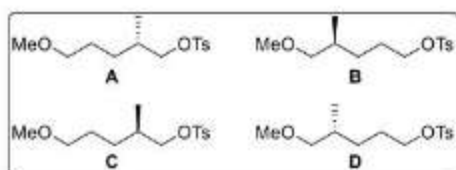
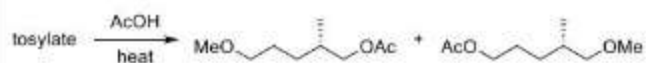
3

A4 4

⋮

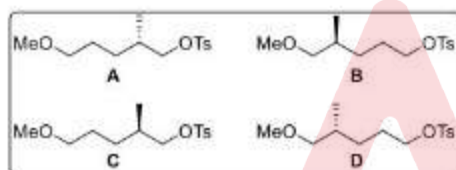
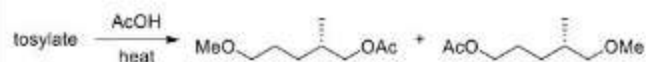
4

The tosylates that on solvolysis will give the mixture of products as shown in the reaction are



1. A and C
2. B and D
3. A and B
4. C and D

दर्शाई गई अभिक्रिया में विलायक अपघटन पर जो टोसिलेट्स उत्पादों का मिश्रण देगा, वह है



1. A तथा C
2. B तथा D
3. A तथा B
4. C तथा D

A1

1

1

A2

2

2

A3

3

3

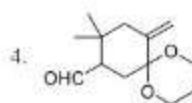
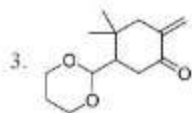
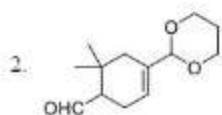
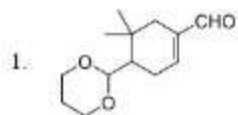
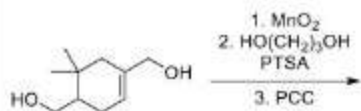
A4

4

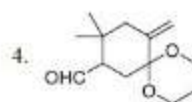
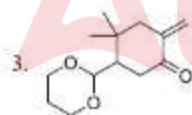
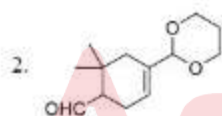
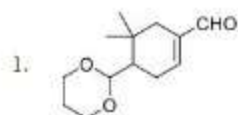
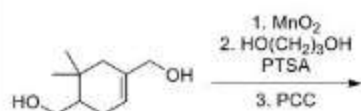
4

Objective Question

The major product formed in the following reaction sequence is



निम्नलिखित अभिक्रिया क्रम में विरचित मुख्य उत्पाद है



A1 1

1

A2 2

2

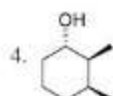
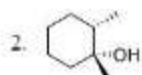
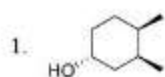
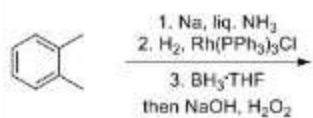
A3 3

3

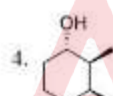
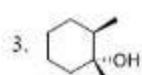
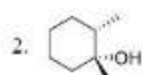
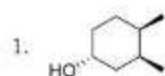
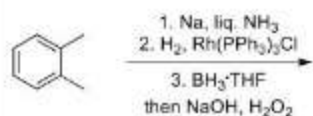
A4 4

4

The major product formed in the following reaction sequence is



निम्नलिखित अभिक्रिया क्रम में विरचित मुख्य उत्पाद है



A1

1

1

A2

2

2

A3

3

3

A4

4

4

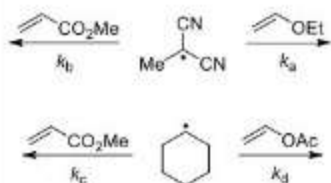
Objective Question

95 701095

4.0

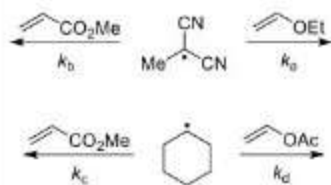
1.00

The correct order of relative rates of the following reactions is



1.  $k_b \gg k_a; k_c \gg k_d$
2.  $k_b \gg k_a; k_d \gg k_c$
3.  $k_a \gg k_b; k_d \gg k_c$
4.  $k_a \gg k_b; k_c \gg k_d$

निम्नलिखित अभिक्रियाओं के सापेक्ष दरों का सही क्रम है



1.  $k_b \gg k_a; k_c \gg k_d$
2.  $k_b \gg k_a; k_d \gg k_c$
3.  $k_a \gg k_b; k_d \gg k_c$
4.  $k_a \gg k_b; k_c \gg k_d$

A1

1

A2

2

A3

3

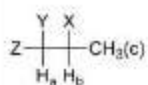
A4

4

Objective Question

96 701096

Consider the following compound where  ${}^3J_{ab}$  and  ${}^3J_{bc}$  represent three bond coupling between  $H_a$  &  $H_b$  and  $H_b$  &  $H_c$  protons, respectively.



In two different scenarios,

i.  ${}^3J_{ab} < {}^3J_{bc}$  and

ii.  ${}^3J_{ab} = {}^3J_{bc}$

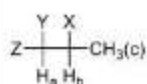
the multiplicity of  $H_b$  proton, respectively, will be

1. i = quintet; ii = quartet of doublets
2. i = quartet of doublets; ii = quintet
3. i = triplet of triplets; ii = quartet of doublets
4. i = triplet of triplets; ii = quintet

4.0

1.00

निम्नलिखित यौगिक पर विचार कीजिए जहाँ  $^3J_{ab}$  तथा  $^3J_{bc}$  क्रमशः  $H_a$  &  $H_b$  तथा  $H_b$  &  $H_c$  प्रोटोनों के मध्य तीन आबन्ध युग्मन को निरूपित करता है।



दो अलग-अलग परिदृश्यों में,

- i.  $^3J_{ab} < ^3J_{bc}$  and
- ii.  $^3J_{ab} = ^3J_{bc}$

$H_b$  प्रोटॉन की बहुकता होगी, क्रमशः

1. i = पंचक; ii = द्विकों का चतुष्क
2. i = द्विकों का चतुष्क; ii = पंचक
3. i = त्रिकों का त्रिक; ii = द्विकों का चतुष्क
4. i = त्रिकों का त्रिक; ii = पंचक

A1

∴

1

A2

∴

2

A3

∴

3

A4

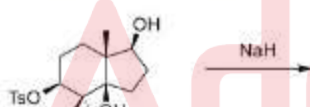
∴

4

Objective Question

97 701097

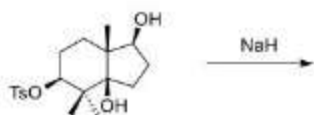
The major product formed in the following reaction is



- 1.
- 2.
- 3.
- 4.

4.0 1.00

निम्नलिखित अभिक्रिया में विरचित मुख्य उत्पाद है



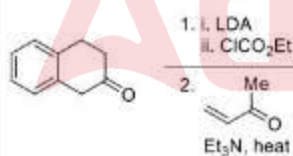
- 1.
- 2.
- 3.
- 4.

A1 1  
 1  
 A2 2  
 2  
 A3 3  
 3  
 A4 4  
 4

Objective Question

98 701098

The major product formed in the following reaction sequence is



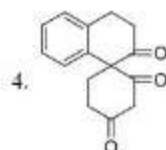
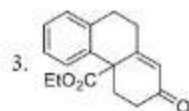
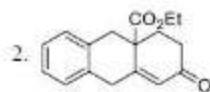
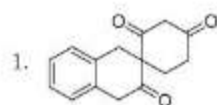
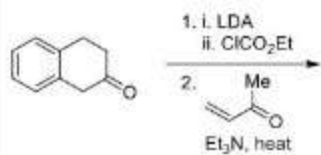
- 1.
- 2.
- 3.
- 4.

4.0

1.00



निम्नलिखित अभिक्रिया क्रम में विरचित मुख्य उत्पाद है



A1 1

1

A2 2

2

A3 3

3

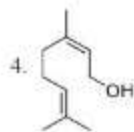
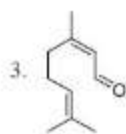
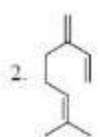
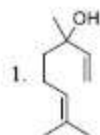
A4 4

4

Objective Question

99 701099

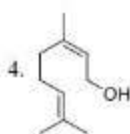
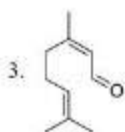
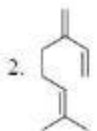
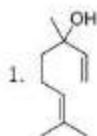
Ozonolysis of a terpene gives equimolar mixture of acetone,  $\alpha$ -hydroxyacetaldehyde and 4-oxopentanal. The correct structure of terpene is



4.0

1.00

एक टर्पीन का ओजोनी अपघटन (ozonolysis) ऐसीटोन,  $\alpha$ -हाइड्रॉक्सीऐसीटेलिडहाइड तथा 4-ऑक्सोपेंटेनल का सममोलर मिश्रण देता है. टर्पीन की सही संरचना है



A1 1

1

A2 2

2

A3 3

3

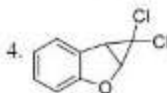
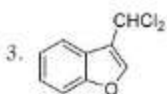
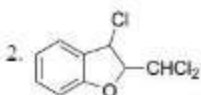
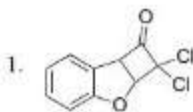
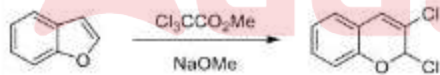
A4 4

4

Objective Question

100 701100

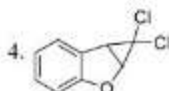
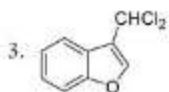
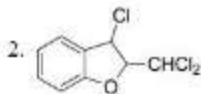
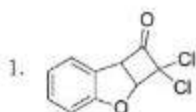
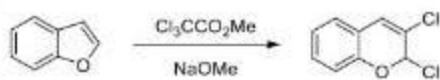
The intermediate formed in the following reaction is



4.0

1.00

निम्नलिखित अभिक्रिया में विरचित मध्यवर्ती है



A1 1

1

A2 2

2

A3 3

3

A4 4

4

Objective Question

101 701101

The  $d$ -orbitals of a hydrogenic atom with  $n = 3$ ,  $l = 2$ , and  $m = \pm 2$  are given by:

$$\psi_{3,2,\pm 2} = N.R(r) \sin^2\theta e^{\pm 2i\phi}$$

Where,  $N$  is the normalization constant and  $R(r)$  is the radial part of the wavefunction. An appropriate linear combination of these two wavefunctions yields the real orbital

1.  $d_{z^2}$

2.  $d_{xy}$

3.  $d_{yz}$

4.  $d_{zx}$

$n = 3$ ,  $l = 2$ , तथा  $m = \pm 2$  वाले एक हाइड्रोजनी परमाणु के  $d$ -कक्षकों को

$\psi_{3,2,\pm 2} = N.R(r) \sin^2\theta e^{\pm 2i\phi}$  द्वारा दिखाया गया है:

जहाँ,  $N$  प्रसामान्यीकरण स्थिरांक है तथा  $R(r)$  तरंगफलत का अरीय भाग है। इन दोनों तरंग फलनों का एक समुचित रेखिक संयोजन जिस वास्तविक कक्षक को देता है, वह है

1.  $d_{z^2}$

2.  $d_{xy}$

3.  $d_{yz}$

4.  $d_{zx}$

4.0

1.00

		A1 ⋮ 1		
		A2 ⋮ 2		
		A3 ⋮ 3		
		A4 ⋮ 4		
Objective Question				
102	701102	<p>A linear variation is performed using two orthogonal basis functions <math>\phi_1</math> and <math>\phi_2</math> to generate two optimised energies <math>\varepsilon_1</math> and <math>\varepsilon_2</math> (<math>\varepsilon_1 \leq \varepsilon_2</math>). If the exact ground and first excited state energies are <math>E_1</math> and <math>E_2</math>, respectively, the correct statement is</p> <ol style="list-style-type: none"> <li>Both <math>\varepsilon_1</math> and <math>\varepsilon_2</math> are lower than <math>E_1</math></li> <li><math>\varepsilon_1</math> lies between <math>E_1</math> and <math>E_2</math></li> <li><math>\varepsilon_1 &gt; E_2</math></li> <li><math>\varepsilon_2 &lt; E_2</math></li> </ol> <p>दो लंबकोणीय आधार फलनों <math>\phi_1</math> तथा <math>\phi_2</math> का प्रयोग करके एक रेखिक विचरण से दो इष्टतमीकृत ऊर्जाओं <math>\varepsilon_1</math> तथा <math>\varepsilon_2</math> (<math>\varepsilon_1 \leq \varepsilon_2</math>) को बनाया गया। यदि <math>E_1</math> तथा <math>E_2</math> क्रमशः यथातत निम्नतम (ground) तथा प्रथम उत्तेजित अवस्था ऊर्जाएँ हैं तो सही कथन है</p> <ol style="list-style-type: none"> <li><math>\varepsilon_1</math> तथा <math>\varepsilon_2</math> दोनों <math>E_1</math> से कम हैं</li> <li><math>E_1</math> तथा <math>E_2</math> के मध्य <math>\varepsilon_1</math> स्थित है</li> <li><math>\varepsilon_1 &gt; E_2</math></li> <li><math>\varepsilon_2 &lt; E_2</math></li> </ol>	4.0	1.00
		A1 ⋮ 1		
		A2 ⋮ 2		
		A3 ⋮ 3		
		A4 ⋮ 4		
Objective Question				
103	701103	<p>A particle of mass <math>m</math> is confined in a rectangular box with <math>L_x = 2L_y</math>. The state with the energy <math>\frac{10h^2}{8mL_y^2}</math> has a degeneracy of</p> <ol style="list-style-type: none"> <li>1</li> <li>2</li> <li>3</li> <li>4</li> </ol>	4.0	1.00

द्रव्यमान  $m$  का एक कण  $L_x = 2L_y$  वाले एक आयताकार बॉक्स में सीमित है।

जिस अवस्था की ऊर्जा  $\frac{10h^2}{8mL_y^2}$  है उसकी अपभ्रष्टता है

1. 1
2. 2
3. 3
4. 4

A1 1

⋮

1

A2 2

⋮

2

A3 3

⋮

3

A4 4

⋮

4

Objective Question

104 701104

1 and 2 are the labels of two electrons. If  $\phi_{1s}$  and  $\phi_{2s}$  are the 1s and 2s wavefunctions of He atom and  $\alpha$  and  $\beta$  are the spin wavefunctions of an electron, the Slater determinant that correctly describes one of the symmetry-adapted excited states of He atom is

1.  $\begin{vmatrix} \phi_{1s}(1)\alpha(1) & \phi_{1s}(2)\alpha(2) \\ \phi_{1s}(1)\beta(1) & \phi_{1s}(2)\beta(2) \end{vmatrix}$
2.  $\begin{vmatrix} \phi_{1s}(1)\alpha(1) & \phi_{1s}(2)\alpha(2) \\ \phi_{2s}(1)\beta(1) & \phi_{2s}(2)\beta(2) \end{vmatrix}$
3.  $\begin{vmatrix} \phi_{1s}(1)\alpha(1) & \phi_{1s}(2)\alpha(2) \\ \phi_{2s}(1)\alpha(1) & \phi_{2s}(2)\alpha(2) \end{vmatrix}$
4.  $\begin{vmatrix} \phi_{1s}(1)\beta(1) & \phi_{1s}(2)\beta(2) \\ \phi_{2s}(1)\alpha(1) & \phi_{2s}(2)\alpha(2) \end{vmatrix}$

1 तथा 2 दो इलेक्ट्रॉनों के लेबल हैं। यदि  $\phi_{1s}$  तथा  $\phi_{2s}$  He परमाणु के 1s तथा 2s तरंगफलन हैं तथा  $\alpha$  तथा  $\beta$  एक इलेक्ट्रॉन के प्रचक्रण तरंगफलन हैं, तो जो स्लेटर निर्धारक He परमाणु के सम्मिलित अनुकूलित उत्तेजित अवस्थाओं के किसी एक का सही वर्णन करता है, वह है

1.  $\begin{vmatrix} \phi_{1s}(1)\alpha(1) & \phi_{1s}(2)\alpha(2) \\ \phi_{1s}(1)\beta(1) & \phi_{1s}(2)\beta(2) \end{vmatrix}$
2.  $\begin{vmatrix} \phi_{1s}(1)\alpha(1) & \phi_{1s}(2)\alpha(2) \\ \phi_{2s}(1)\beta(1) & \phi_{2s}(2)\beta(2) \end{vmatrix}$
3.  $\begin{vmatrix} \phi_{1s}(1)\alpha(1) & \phi_{1s}(2)\alpha(2) \\ \phi_{2s}(1)\alpha(1) & \phi_{2s}(2)\alpha(2) \end{vmatrix}$
4.  $\begin{vmatrix} \phi_{1s}(1)\beta(1) & \phi_{1s}(2)\beta(2) \\ \phi_{2s}(1)\alpha(1) & \phi_{2s}(2)\alpha(2) \end{vmatrix}$

A1 1

⋮

1

A2 2

⋮

2

A3 3

⋮

3

4.0

1.00

A4  
4  
4

Objective Question

105 701105

$\sigma_g$  and  $\sigma_u$  are respectively the bonding and anti-bonding molecular orbitals formed by linear combination of two 1s atomic orbitals of H-atom. The spatial part of a purely covalent wavefunction for  $H_2$  molecule obtained according to molecular orbital theory is

1.  $\sigma_g(1)\sigma_g(2) + \sigma_g(1)\sigma_u(2)$
2.  $\sigma_g(1)\sigma_g(2) - \sigma_g(1)\sigma_u(2)$
3.  $\sigma_g(1)\sigma_g(2) + \sigma_u(1)\sigma_u(2)$
4.  $\sigma_g(1)\sigma_g(2) - \sigma_u(1)\sigma_u(2)$

$\sigma_g$  तथा  $\sigma_u$  क्रमशः H-परमाणु के दो 1s परमाण्विक कक्षकों के रेखिक संयोजन से बने आवंधन तथा प्रतिआबंधन आण्विक कक्षक हैं। आण्विक कक्षक सिद्धांत के अनुसार प्राप्त  $H_2$  अणु के लिए शुद्ध सहसंयोजी तरंगफलन का स्थानिक (spatial) भाग है

1.  $\sigma_g(1)\sigma_g(2) + \sigma_g(1)\sigma_u(2)$
2.  $\sigma_g(1)\sigma_g(2) - \sigma_g(1)\sigma_u(2)$
3.  $\sigma_g(1)\sigma_g(2) + \sigma_u(1)\sigma_u(2)$
4.  $\sigma_g(1)\sigma_g(2) - \sigma_u(1)\sigma_u(2)$

A1  
1

1

A2  
2

2

A3  
3

3

A4  
4

4

Objective Question

106 701106

The character table for a particular point group is given below. The characters in the irreducible representations  $\Gamma_4$  and  $\Gamma_5$ , respectively, are

	E	$2\hat{R}_1$	$\hat{R}_2$	$2\hat{R}_3$	$2\hat{R}_4$
$\Gamma_1$	1	1	1	1	1
$\Gamma_2$	1	1	1	-1	-1
$\Gamma_3$	1	-1	1	-1	1
$\Gamma_4$					
$\Gamma_5$					

1. {1,1, -1,1, -1} and {2, -2,1,0,0}
2. {1, -1,1,1, -1} and {2,0, -2,0,0}
3. {1,2,0, -2,1} and {1,1,1,1, -1}
4. {2,0, -2,0,0} and {2,1, -1,1, -1}

4.0 1.00

4.0 1.00

एक विशेष विन्दु समूह के लिए अभिलक्षणिक सारणी नीचे दी गई है। अखंडनीय निरूपण  $\Gamma_4$  तथा  $\Gamma_5$  में अभिलक्षण हैं, क्रमशः

	$E$	$2\hat{R}_1$	$\hat{R}_2$	$2\hat{R}_3$	$2\hat{R}_4$
$\Gamma_1$	1	1	1	1	1
$\Gamma_2$	1	1	1	-1	-1
$\Gamma_3$	1	-1	1	-1	1
$\Gamma_4$					
$\Gamma_5$					

1.  $(1, 1, -1, 1, -1)$  तथा  $(2, -2, 1, 0, 0)$
2.  $(1, -1, 1, 1, -1)$  तथा  $(2, 0, -2, 0, 0)$
3.  $(1, 2, 0, -2, 1)$  तथा  $(1, 1, 1, 1, -1)$
4.  $(2, 0, -2, 0, 0)$  तथा  $(2, 1, -1, 1, -1)$

A1 1

∴

1

A2 2

∴

2

A3 3

∴

3

A4 4

∴

4

Objective Question

107 701107

Consider a matrix representation  $A$  of the water molecule in the basis  $\{\vec{v}_1, \vec{v}_2\}$ , where,  $\vec{v}_1$  and  $\vec{v}_2$ , are the bond vectors along the two O - H bonds. Consider another matrix representation  $B$  of the same molecule in a new basis set  $\{\vec{u}_1, \vec{u}_2\}$ , such that  $\vec{u}_1 = \frac{1}{\sqrt{2}}(\vec{v}_1 + \vec{v}_2)$ ,  $\vec{u}_2 = \frac{1}{\sqrt{2}}(\vec{v}_1 - \vec{v}_2)$ . The character table for  $C_{2v}$  point group is given below:

	$E$	$C_2$	$\sigma_v(x, z)$	$\sigma_v(y, z)$
$A_1$	1	1	1	1
$A_2$	1	1	-1	-1
$B_1$	1	-1	1	-1
$B_2$	1	-1	-1	1

The irreducible representations that contribute to  $B$  are

1.  $A_1$  and  $B_1$
2.  $A_1$  and  $B_2$
3.  $A_2$  and  $B_1$
4.  $A_1$  and  $A_2$

4.0 1.00

आधार  $\{\vec{v}_1, \vec{v}_2\}$  में, जल अणु के एक आव्यूह निरूपण  $A$  पर विचार कीजिए, जहां  $\vec{v}_1$  तथा  $\vec{v}_2$ , दो  $O-H$  आबंधों के साथ आबन्ध सदिश हैं। एक नये आधार समुच्चय  $\{\vec{u}_1, \vec{u}_2\}$  में इसी परमाणु के अन्य आव्यूह निरूपण  $B$  पर विचार कीजिए जहाँ  $\vec{u}_1 = \frac{1}{\sqrt{2}}(\vec{v}_1 + \vec{v}_2)$ ,  $\vec{u}_2 = \frac{1}{\sqrt{2}}(\vec{v}_1 - \vec{v}_2)$ ।  $C_{2v}$  बिन्दु समूह के लिए अभिलक्षणिक सारणी नीचे दी गई है:

	$E$	$C_2$	$\sigma_v(x, z)$	$\sigma_v(y, z)$
$A_1$	1	1	1	1
$A_2$	1	1	-1	-1
$B_1$	1	-1	1	-1
$B_2$	1	-1	-1	1

जो अखंडतीय निरूपण  $B$  में योगदान देते हैं, वह हैं

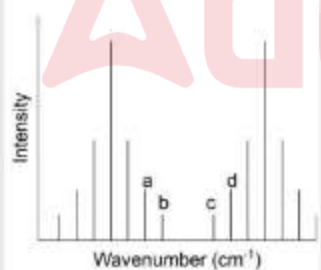
1.  $A_1$  तथा  $B_1$
2.  $A_1$  तथा  $B_2$
3.  $A_2$  तथा  $B_1$
4.  $A_1$  तथा  $A_2$

A1 1  
A2 2  
A3 3  
A4 4

Objective Question

108 701108

A schematic rotational-vibrational spectrum is depicted below and four lines of this spectrum for two diatomic molecules (M1 and M2) are tabulated.



	a (cm <sup>-1</sup> )	b (cm <sup>-1</sup> )	c (cm <sup>-1</sup> )	d (cm <sup>-1</sup> )
M1	1540	1564	1636	1660
M2	1644	1676	1772	1804

If the reduced mass of M1 is 3-times that of M2, the ratio of bond length of M1 to that of M2 is

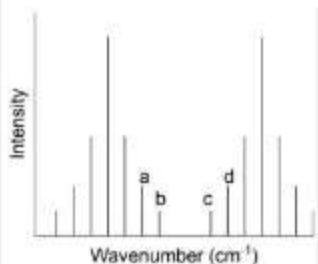
1.  $\frac{2}{3}$
2.  $\frac{3}{2}$
3.  $\frac{4}{9}$
4.  $\frac{9}{4}$

4.0

1.00



एक व्यवस्थित घूर्णन-कंपन स्पेक्ट्रम नीचे चित्रित किया गया है तथा दो द्विपरमाण्विक अणुओं (M1 and M2) के लिए इस स्पेक्ट्रम के चार लाइनों को सारणीबद्ध किया है।



	a (cm <sup>-1</sup> )	b (cm <sup>-1</sup> )	c (cm <sup>-1</sup> )	d (cm <sup>-1</sup> )
M1	1540	1564	1636	1660
M2	1644	1676	1772	1804

यदि M1 का समानांतर द्रव्यमान M2 का तीन गुना है, तो M1 की आवन्ध लंबाई का M2 की आवन्ध लंबाई से अनुपात है

1.  $\frac{2}{3}$
2.  $\frac{3}{2}$
3.  $\frac{4}{9}$
4.  $\frac{9}{4}$

A1 1

1

A2 2

2

A3 3

3

A4 4

4

Objective Question

109 701109

For a diatomic molecule, which is an anharmonic oscillator,  $\bar{\nu}_e$  (vibrational wavenumber) =  $536.2 \text{ cm}^{-1}$ . The observed ( $\bar{\nu}_{obs}$ ) value of fundamental frequency is  $529.4 \text{ cm}^{-1}$ . The magnitude of  $\bar{\nu}_{obs}$  (in  $\text{cm}^{-1}$ ) for 3<sup>rd</sup> overtone is closest to

1. 2076.8
2. 1588.2
3. 1567.8
4. 2117.2

4.0

1.00

एक द्विपरमाण्विक अणु जो एक अपसंवादी दोलित्र है, के लिए  $\bar{\nu}_e$  (कंपन तरंग संख्या) =  $536.2 \text{ cm}^{-1}$  है। मूल आवृत्ति का प्रेक्षित ( $\bar{\nu}_{obs}$ ) मान  $529.4 \text{ cm}^{-1}$  है। 3<sup>rd</sup> अधिस्वरक (overtone) के लिए  $\bar{\nu}_{obs}$  ( $\text{cm}^{-1}$  में) का परिमाण जिसमें निकटतम है, वह है

1. 2076.8
2. 1588.2
3. 1567.8
4. 2117.2

A1 1

1

A2 2

2

A3 3

3

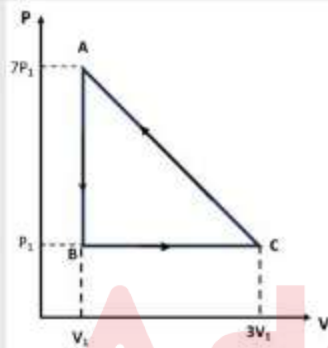
A4 4

4

Objective Question

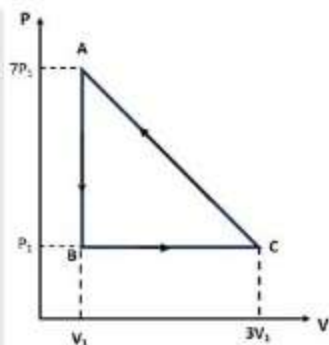
110 701110

4.0 1.00



The total work done by the system in the cyclic process depicted above is

1.  $6 P_1 V_1$
2. 0
3.  $-14 P_1 V_1$
4.  $12 P_1 V_1$



ऊपर चित्रित चक्रीय प्रक्रम में लिकाय द्वारा किया गया कुल कार्य है

1.  $6 P_1 V_1$
2. 0
3.  $-14 P_1 V_1$
4.  $12 P_1 V_1$

A1 1

∴ 1

A2 2

∴ 2

A3 3

∴ 3

A4 4

∴ 4

Objective Question

111 701111

The application of Euler's reciprocity relation (cross-derivative rule) to the volume of 1 mole of an ideal gas results in mixed second derivative of  $V$  equal to

1.  $-\frac{R}{p^2}$
2.  $-\frac{RT}{p^2}$
3.  $\frac{R}{p}$
4.  $\frac{2RT}{p^3}$

एक आदर्श गैस के 1 मोल के आयतन के साथ यूलर व्युत्क्रमता संबंध (क्रॉस-व्युत्पन्न नियम) के अनुप्रयोग से बना  $V$  का मिश्रित द्वितीय व्युत्पन्न बराबर है

1.  $-\frac{R}{p^2}$
2.  $-\frac{RT}{p^2}$
3.  $\frac{R}{p}$
4.  $\frac{2RT}{p^3}$

A1 1

∴ 1

A2 2

∴ 2

4.0 1.00

A3 3  
3  
A4 4  
4  
4

Objective Question

112 701112

Consider a two-level system at thermal equilibrium. The ratios of the excited state population to the ground state population are 0.50 and 0.25 at 600 K and 300 K, respectively. The energy gap between the two levels (in unit of  $10^{-21}\text{J}$ ) is closest to [ $k_B = 1.38 \times 10^{-23}\text{JK}^{-1}$ ]

4.0 1.00

1. 1.44
2. 2.87
3. 5.74
4. 11.48

ऊष्मीय साम्यावस्था पर एक दो-स्तरीय तिकाय पर विचार कीजिए। 600 K तथा 300 K पर उत्तेजित अवस्था समष्टि तथा निम्नतम अवस्था समष्टि का अनुपात क्रमशः 0.50 तथा 0.25 हैं। दो स्तरों के मध्य ऊर्जा अंतराल ( $10^{-21}\text{J}$  की इकाई में) जिसके निकटतम है, वह है

[ $k_B = 1.38 \times 10^{-23}\text{JK}^{-1}$ ]

1. 1.44
2. 2.87
3. 5.74
4. 11.48

A1 1  
1  
A2 2  
2  
A3 3  
3  
A4 4  
4

Objective Question

113 701113

The temperature dependent standard electrode potential of  $\text{Ag(s)}|\text{AgBr(s)}|\text{Br}^-(\text{aq})$  fits the expression

4.0 1.00

$$E^0(V) = 0.0713 - 4.99 \times 10^{-4} \left( \frac{T}{K} - 298 \right) - 3.45 \times 10^{-6} \left( \frac{T}{K} - 298 \right)^2$$

At 398 K, the entropy change,  $\Delta S^0$ , (in  $\text{J K}^{-1} \text{mol}^{-1}$ ) is

1. -48.2
2. -114.7
3. 48.2
4. 114.7

$\text{Ag(s)}|\text{AgBr(s)}|\text{Br}^-$  (जलीय) का तापआश्रित मानक इलेक्ट्रोड विभव,

$E^0(V) = 0.0713 - 4.99 \times 10^{-4} \left(\frac{T}{K} - 298\right) - 3.45 \times 10^{-6} \left(\frac{T}{K} - 298\right)^2$  व्यंजक में सही बैठता है

398 K पर, एन्ट्रॉपी में बदलाव,  $\Delta S^0$ , (in  $\text{J K}^{-1} \text{mol}^{-1}$  में) है

1. -48.2
2. -114.7
3. 48.2
4. 114.7

A1 1

1

A2 2

2

A3 3

3

A4 4

4

Objective Question

114 701114

If  $E^0$  for  $\text{OCl}^-(\text{aq})|\text{Cl}^-(\text{aq})$  and  $\text{Cl}^-(\text{aq})|\frac{1}{2}\text{Cl}_2(\text{g})$  half-cells, respectively, are 0.94 V and -1.36 V, then  $E^0$  (in V) for the  $\text{OCl}^-(\text{aq})|\frac{1}{2}\text{Cl}_2(\text{g})$  half cell is

1. -0.42
2. -2.20
3. 0.52
4. 1.04

यदि  $\text{OCl}^-$  (जलीय)| $\text{Cl}^-$  (aq) तथा  $\text{Cl}^-$  (aq)| $\frac{1}{2}\text{Cl}_2$  (g) अर्ध-सेलों के लिए  $E^0$

क्रमशः 0.94 V तथा -1.36 V हैं, तो  $\text{OCl}^-$  (जलीय)| $\frac{1}{2}\text{Cl}_2$  (g) अर्ध सेल के लिए

$E^0$  (V में) है

1. -0.42
2. -2.20
3. 0.52
4. 1.04

A1 1

1

A2 2

2

A3 3

3

A4 4

4

Objective Question

115 701115

4.0

1.00

4.0

1.00

Two reactions have same pre-exponential factor, but  $E_a$  (activation energy) of the first reaction is lower than that of the second reaction by 5 kcal mol<sup>-1</sup>. Given  $R = 1.987 \times 10^{-3}$  kcal mol<sup>-1</sup> K<sup>-1</sup>. The ratio of the rate constants of the first and second reactions at 298 K is closest to

1. 4650
2. 22025
3. 5
4. 150

दो अभिक्रियाओं के पूर्व-चरघातांकी गुणक समान हैं, परंतु प्रथम अभिक्रिया की  $E_a$  (सक्रियण ऊर्जा), द्वितीय अभिक्रिया से 5 kcal mol<sup>-1</sup> कम है। दिया है,  $R = 1.987 \times 10^{-3}$  kcal mol<sup>-1</sup> K<sup>-1</sup>, 298 K पर प्रथम तथा द्वितीय अभिक्रियाओं के दर नियतांकों का अनुपात जिसके निकटतम है, वह है

1. 4650
2. 22025
3. 5
4. 150

A1 1

1

A2 2

2

A3 3

3

A4 4

4

Objective Question

116 701116

The isomerization of cyclopropane to propene follows Lindemann mechanism and is carried out in the high-pressure limit. The ratio of the rate constants of activation to deactivation steps is 10, and that of product formation to deactivation step is 15. Given the effective rate constant as 150 s<sup>-1</sup>, the rate constant (in s<sup>-1</sup>) for the deactivation step is

1. 1.5
2. 1.0
3. 10.0
4. 7.0

साइक्लोप्रोपेन का प्रोपीन में समावयवन लिंडेमन क्रियाविधि का अनुसरण करता है तथा उच्च दाब सीमा में किया गया है। सक्रियण चरण का निष्क्रियण चरण के दर नियतांकों का अनुपात 10 है तथा उत्पाद निर्माण चरण का निष्क्रियण चरण से अनुपात 15 है। यदि प्रभावी दर नियतांक 150 s<sup>-1</sup> है तो निष्क्रियण चरण के लिए दर नियतांक (s<sup>-1</sup> में) है

1. 1.5
2. 1.0
3. 10.0
4. 7.0

A1 1

1

A2 2

2

4.0

1.00

2  
A3 3  
∴  
3  
A4 4  
∴  
4

Objective Question

117 701117

The rate of a surface catalyzed reaction between  $CO(g)$  and  $O_2(g)$  follows Langmuir-Hinshelwood mechanism. If  $O_2$  gets dissociated during adsorption, the rate of the reaction is [where,  $p$  represents the partial pressure and  $K$  represents the surface binding constant on the species.  $k$  is a proportionality constant]

4.0 1.00

1. 
$$\frac{k \cdot K_{CO} p_{CO} \cdot K_{O_2}^{1/2} p_{O_2}^{1/2}}{\left(1 + K_{CO} p_{CO} + K_{O_2}^{1/2} p_{O_2}^{1/2}\right)^2}$$

2. 
$$\frac{k \cdot K_{CO} p_{CO} \cdot K_{O_2} p_{O_2}}{1 + K_{CO} p_{CO} + K_{O_2} p_{O_2}}$$

3. 
$$\frac{k \cdot p_{CO} \cdot K_{O_2} p_{O_2}}{1 + K_2 p_{O_2}}$$

4. 
$$\frac{k \cdot K_{CO} p_{CO} \cdot K_{O_2} p_{O_2}}{\left(1 + K_{CO} p_{CO} + K_{O_2} p_{O_2}\right)^2}$$

$CO(g)$  तथा  $O_2(g)$  के मध्य एक सतह उत्प्रेरित अभिक्रिया की दर लैंगम्यूर-हिंसेलवुड क्रियाविधि का अनुसरण करती है। यदि अधिशोषण के दौरान  $O_2$  वियोजित होती है, तो अभिक्रिया की दर है [जहाँ,  $p$  आंशिक दाब को निरूपित करता है तथा  $K$  स्पीशीज में सतह बंधन स्थिरांक को निरूपित करता है।  $k$  एक अनुपातिकता स्थिरांक है]

1. 
$$\frac{k \cdot K_{CO} p_{CO} \cdot K_{O_2}^{1/2} p_{O_2}^{1/2}}{\left(1 + K_{CO} p_{CO} + K_{O_2}^{1/2} p_{O_2}^{1/2}\right)^2}$$

2. 
$$\frac{k \cdot K_{CO} p_{CO} \cdot K_{O_2} p_{O_2}}{1 + K_{CO} p_{CO} + K_{O_2} p_{O_2}}$$

3. 
$$\frac{k \cdot p_{CO} \cdot K_{O_2} p_{O_2}}{1 + K_2 p_{O_2}}$$

4. 
$$\frac{k \cdot K_{CO} p_{CO} \cdot K_{O_2} p_{O_2}}{\left(1 + K_{CO} p_{CO} + K_{O_2} p_{O_2}\right)^2}$$

A1 1  
∴  
1  
A2 2  
∴  
2  
A3 3  
∴  
3  
A4 4  
∴  
4

Objective Question

118 701118

4.0 1.00

In solids, the filled molecular orbitals contribute to the

1. Rydberg states
2. Valence Band
3. Conduction Band
4. Frenkel Exciton

दोसों में, भरे हुए आणविक कक्षकों का योगदान होता है

1. रिडबर्ग अवस्थाओं में
2. संयोजकता बैंड में
3. चालकता बैंड में
4. फ्रैंकल ऐक्साइटॉन में

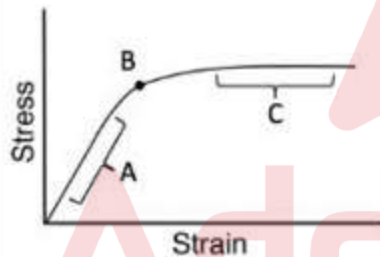
A1 1  
A2 2  
A3 3  
A4 4

Objective Question

119 701119

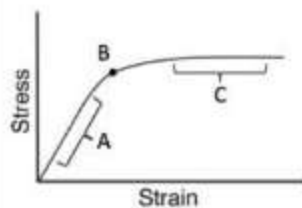
Identify **A**, **B** and **C** in the following stress-strain plot of a polymer.

4.0 1.00



1. **A**: yield region, **B**: elastic point, **C**: plastic region
2. **A**: plastic region, **B**: yield point, **C**: elastic region
3. **A**: elastic region, **B**: yield point, **C**: plastic region
4. **A**: elastic region, **B**: plastic point, **C**: yield region

एक बहुलक के निम्नलिखित प्रतिबल-विकृति (stress-strain) आलेख में **A**, **B** तथा **C** को पहचानिए।



1. **A**: लव्धि क्षेत्र, **B**: प्रत्यास्थ बिन्दु, **C**: सुघट्य क्षेत्र
2. **A**: सुघट्य क्षेत्र, **B**: लव्धि बिन्दु, **C**: प्रत्यास्थ क्षेत्र
3. **A**: प्रत्यास्थ क्षेत्र, **B**: लव्धि बिन्दु, **C**: सुघट्य क्षेत्र
4. **A**: प्रत्यास्थ क्षेत्र, **B**: सुघट्य बिन्दु, **C**: लव्धि क्षेत्र



A1 1  
⋮  
1  
A2 2  
⋮  
2  
A3 3  
⋮  
3  
A4 4  
⋮  
4

Objective Question

120 701120

The percentage error in the measurements of mass and linear velocity of a particle, respectively, are 3% and 4%. The maximum percentage error in the kinetic energy of the particle is

- 1. 5%
- 2. 7%
- 3. 11%
- 4. 24%

एक कण के द्रव्यमान तथा रेखिक वेग के मापनों में प्रतिशत त्रुटि क्रमशः 3% तथा 4% हैं। कण के गतिज ऊर्जा में अधिकतम प्रतिशत त्रुटि है

- 1. 5%
- 2. 7%
- 3. 11%
- 4. 24%

A1 1  
⋮  
1  
A2 2  
⋮  
2  
A3 3  
⋮  
3  
A4 4  
⋮  
4

4.0

1.00

Adda247